



UNIVERSIDAD NACIONAL AUTÓNOMA DE MÉXICO
FACULTAD DE INGENIERÍA

ANÁLISIS ESTRUCTURAL II

ING. JULIO E. DAMY RIOS

Principios Fundamentales.

a).- Continuidad

$$e = a d$$

b).- Ley de Hooke

$$p = k e$$

c).- Equilibrio

$$F = a^T p$$

Solución de Estructuras.

Método de los desplazamientos o de las rigideces.
(Continuidad — Ley de Hooke — Equilibrio)

$$F = a^T p = a^T k e = a^T k a d$$

$$F = K d; K = a^T k a$$

Solución:

$$d = K^{-1} F$$

$$e = a d = a K^{-1} F$$

$$p = k e = k a K^{-1} F$$

Si la estructura es isostática, a^T es no singular, por consiguiente:

$$p = (a^T)^{-1} F$$

$$e = (k)^{-1} p$$

$$d = (a)^{-1} e$$

G-605660

FACULTAD DE INGENIERIA

Si la estructura es hiperestática estable, la matriz a^T se puede particionar.

$$[a^T] = [a_0^T \mid a_1^T]$$

P_0^T debe ser una matriz cuadrada no singular, que define la estructura primaria o isostática.

$$P = \begin{bmatrix} a_0^T & a_1^T \\ \hline P_0 & P_1 \end{bmatrix}$$

P_0 = fuerzas en las barras que forman la estructura primaria.

P_1 = fuerzas en las barras sobrantes.

Método de las fuerzas o método de las flexibilidades.

Equilibrio:

$$[P] = \begin{bmatrix} b_0 & b_1 \\ \hline P & R \end{bmatrix}$$

o bien:

$$\begin{bmatrix} P_0 \\ \hline P_1 \end{bmatrix} = \begin{bmatrix} b_{00} & b_{10} \\ \hline 0 & b_{11} \end{bmatrix} \begin{bmatrix} P \\ \hline R \end{bmatrix}$$

Ley de Hooke:

$$[e] = [f] [p]$$

$$f = k^{-1}$$

Continuidad:

$$\begin{bmatrix} d \\ \hline u \end{bmatrix} = \begin{bmatrix} b_0^T \\ \hline b_1^T \end{bmatrix} [e]$$

Relaciones de b_{00} , b_{10} , a :

$$b_{00} = (a_0^T)^{-1}$$

$$b_{10} = -b_{00} a_1^T b_{11}$$

Pero por (2)

$$b_{10} = -b_{00} a_{11}^{-1} b_{11} \quad \text{l.q.q.d.}$$

$$4).- \quad b_0^T f b = b^T f b = b^T f b_0 = K^{-1}$$

Recordemos que: $b = b_0 - b_1 (b_1^T f b_1)^{-1} b_1^T f b_0$ por consiguiente:

$$b^T f b = [b_0 - b_1 (b_1^T f b_1)^{-1} b_1^T f b_0]^T f b =$$

$$= b_0^T f b - \underbrace{b_0^T f b_1 (b_1^T f b_1)^{-1} b_1^T f b_1}_{0}$$

$$b_0^T f b_1 (b_1^T f b_1)^{-1} b_1^T f b_0 - b_0^T f b_1 \underbrace{(b_1^T f b_1)^{-1} b_1^T f b_1}_{1}$$

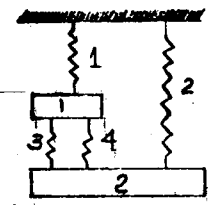
$$(b_1^T f b_1)^{-1} b_1^T f b_0$$

$$\therefore -b_0^T f b_1 (b_1^T f b_1)^{-1} b_1^T f b_0 = 0 \quad \text{l.q.q.d.}$$

La matriz K^{-1} es simétrica, por consiguiente:

$$K^{-1} = (K^{-1})^T \quad \therefore b_0^T f b = (b_0^T f b)^T = b^T f b_0$$

Ejemplos:



$$F = \begin{bmatrix} 10 \\ -5 \end{bmatrix}$$

$$k_j = 1 \text{ T/cm.}$$

$$j = 1, 2, 3, 4$$

a).- Método de las rigideces

$$a = \begin{bmatrix} 1 & 0 \\ 0 & 1 \\ -1 & 1 \\ -1 & 1 \end{bmatrix}; \quad k = I$$

$$a^T k a = \begin{bmatrix} 3 & -2 \\ -2 & 3 \end{bmatrix} = K$$

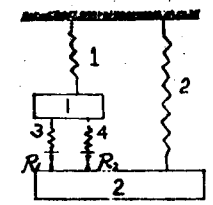
Solución para cualquier F

$$d = \begin{bmatrix} 3/5 & 2/5 \\ 2/5 & 3/5 \end{bmatrix} \begin{bmatrix} F \\ F \end{bmatrix}$$

$$e = \begin{bmatrix} 3/5 & 2/5 \\ 2/5 & 3/5 \\ -1/5 & 1/5 \\ -1/5 & 1/5 \end{bmatrix} \begin{bmatrix} F \\ F \end{bmatrix}$$

$$p = \begin{bmatrix} 3/5 & 2/5 \\ 2/5 & 3/5 \\ -1/5 & 1/5 \\ -1/5 & 1/5 \end{bmatrix} \begin{bmatrix} F \\ F \end{bmatrix}$$

b).- Método de las flexibilidades



$$b_0 = \begin{bmatrix} 1 & 0 \\ 0 & 1 \\ 0 & 0 \\ 0 & 0 \end{bmatrix}$$

$$b_1 = \begin{bmatrix} 1 & 1 \\ -1 & -1 \\ 1 & 0 \\ 0 & 1 \end{bmatrix}$$

$$K^{-1} = \begin{bmatrix} 3/5 & 2/5 \\ 2/5 & 3/5 \end{bmatrix}$$

$$d = K^{-1} F = \begin{bmatrix} 4 \\ 1 \end{bmatrix} \text{ cm.}$$

$$e = e d = \begin{bmatrix} 4 \\ 1 \\ -3 \\ -3 \end{bmatrix} \text{ cm.}$$

$$p = k e = \begin{bmatrix} 4 \\ 1 \\ -3 \\ -3 \end{bmatrix} \text{ Ton.}$$

$$b_1^T f b_1 = \begin{bmatrix} 3 & 2 \\ 2 & 3 \end{bmatrix}$$

$$(b_1^T f b_1)^{-1} = \begin{bmatrix} 3/5 & -2/5 \\ -2/5 & 3/5 \end{bmatrix}$$

$$b_1 (b_1^T f b_1)^{-1} b_1^T f b_0 = 1/5 \begin{bmatrix} 2 & -2 \\ -2 & 2 \\ 1 & -1 \\ 1 & -1 \end{bmatrix}$$

$$b = b_0 - b_1 (b_1^T f b_1)^{-1} b_1^T f b_0 = 1/5 \begin{bmatrix} 3 & 2 \\ 2 & 3 \\ -1 & 1 \\ -1 & 1 \end{bmatrix} \therefore p = b F$$

$$d = b_0^T f b F$$

$$b_0^T f b = \begin{bmatrix} 3/5 & 2/5 \\ 2/5 & 3/5 \end{bmatrix} = K^{-1}$$

resumen (2)

I.- Armaduras

1.- Vectores fuerza y desplazamiento

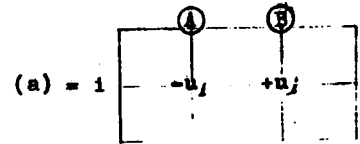
a).- armadura plana

$$F_j = \begin{bmatrix} F_{jx} \\ F_{jy} \end{bmatrix} ; d_j = \begin{bmatrix} d_{jx} \\ d_{jy} \end{bmatrix}$$

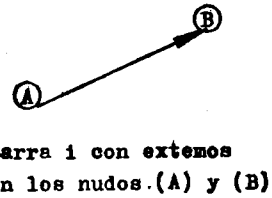
b).- armadura en el espacio

$$F_j = \begin{bmatrix} F_{jx} \\ F_{jy} \\ F_{jz} \end{bmatrix} ; d_j = \begin{bmatrix} d_{jx} \\ d_{jy} \\ d_{jz} \end{bmatrix}$$

2.- Matriz de continuidad (a)

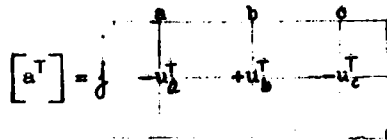


$$u_A = \begin{bmatrix} \text{sen } \theta \\ \text{cos } \theta \end{bmatrix} \quad \text{ó} \quad u_A = \begin{bmatrix} \text{cos } \alpha \\ \text{cos } \beta \\ \text{cos } \gamma \end{bmatrix}$$

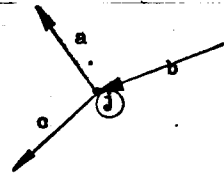


Barra 1 con extremos en los nudos (A) y (B)

3.- Matriz de equilibrio $[a^T]$



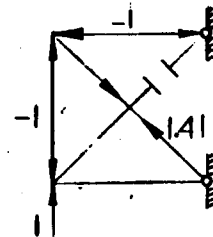
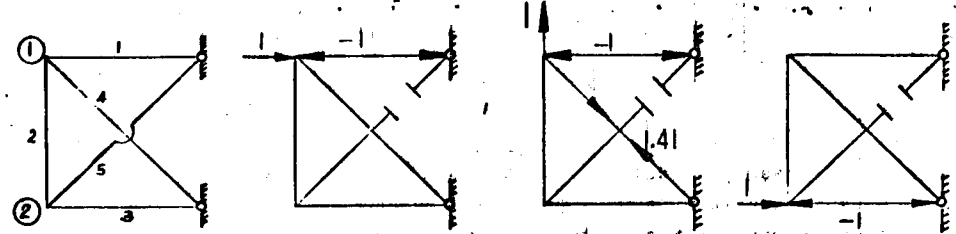
Si entra al nudo +
Si sale del nudo -



Nudo 3 concurren barras a, b, c, ...

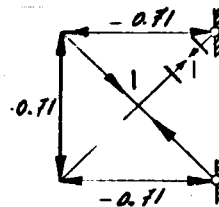
II.- Interpretación física de algunas matrices en el método de las fuerzas

b_0 = fuerzas en las barras producidas por fuerzas unitarias aplicadas en la estructura primaria



$$b_0 = \begin{bmatrix} -1 & -1 & 0 & -1 \\ 0 & 0 & 0 & -1 \\ 0 & 0 & -1 & 0 \\ 0 & 1.41 & 0 & 1.41 \\ 0 & 0 & 0 & 0 \end{bmatrix}$$

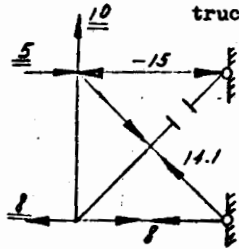
b_1 = fuerzas en las barras producidas por redundantes unitarios aplicados en la estructura primaria



$$b_1 = \begin{bmatrix} -0.71 \\ -0.71 \\ -0.71 \\ +1 \\ +1 \end{bmatrix}$$

(10)

$b_0 F$ = fuerzas en las barras producidas por las fuerzas $[F]$ aplicadas en la estructura primaria.



$$F = \begin{bmatrix} 5 \\ 10 \\ -8 \\ 0 \end{bmatrix}; \quad b_0 F = \begin{bmatrix} -15 \\ 0 \\ +8 \\ 14.1 \\ 0 \end{bmatrix}$$

III.- Casos particulares de $[s_0^T]$

Si la estructura es una armadura, que se puede resolver la estructura primaria por el método de los nudos, es posible que la matriz sea triangular inferior.

Posteriormente veremos que para algunas estructuras es posible hacer que $[s_0^T]$ sea triangular inferior ó superior. (Ver ejemplo)

IV.- Obtención directa de las reacciones y efecto de desplazamiento en los apoyos.

Sean $[P]$ las reacciones y $[d_A]$ los desplazamientos de los apoyos - (en general $d_A = 0$) si consideramos a estos como nudos, en el método de los desplazamientos, se obtiene:

$$\begin{bmatrix} F \\ P \end{bmatrix} = \begin{bmatrix} K_{11} & K_{12} \\ K_{21} & K_{22} \end{bmatrix} \begin{bmatrix} d \\ d_A \end{bmatrix}$$

$(K_{11} = K_{21}^T)$

O bien:

$$F = K_{11} d + K_{12} d_A$$

$$F - K_{12} d_A = K_{11} d \quad d = K_{11}^{-1} (F - K_{12} d_A)$$

$$P = K_{21} d + K_{22} d_A$$

(11)

O bien:

$$P = K_{12} K_{11}^{-1} F + [K_{22} - K_{12} K_{11}^{-1} K_{21}] d_A$$

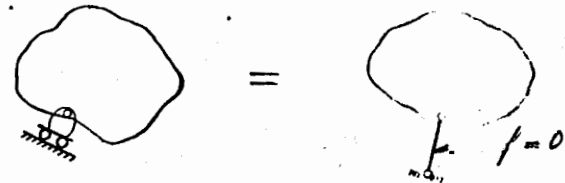
Observe que si $F = 0$

$$P = \tilde{K} d_A$$

donde $\tilde{K} = K_{22} - K_{12} K_{11}^{-1} K_{21}$, es la contracción de la matriz $[K]$

Cuando un apoyo no es completo (tiene algún grado de libertad) se puede substituir por un sistema de barras de rigidez infinita (flexibilidad nula) que se apoyen en apoyos completos.

Ejemplo:



Si el apoyo es completo no es necesario ni se debe hacer esta substitución.

V.- Apéndice

1.- Inversión de una matriz triangular inferior

Sea L una matriz triangular inferior y M su inversa, es muy fácil demostrar el siguiente algoritmo para obtener los elementos de M .

$$m_{ii} = (l_{ii})^{-1} \quad (i = 1, 2, \dots, n)$$

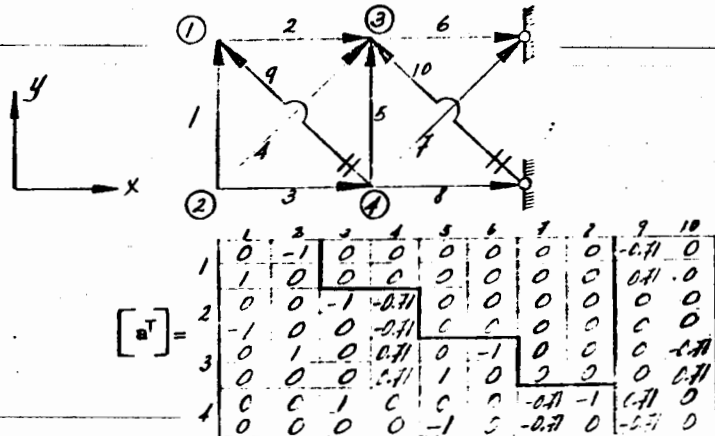
$$m_{ij} = -(l_{ij})^{-1} \sum_{k=i}^{j-1} l_{ik} m_{kj} \quad (i < j)$$

$$m_{ij} = 0 \quad (i > j)$$

2.- J. Robinson ha publicado dos artículos:
 "Automatic Selection of Redundancies in the Matrix Force Method:
 The Rank Technique"
 Ger. Aeron Space J; 11: 9-12 (1965)
 "Dissertation on the Rank Technique and its Application" J Roy
 Aeron Soc., 69:280-283 (1965)
 en los cuales desarrolla un método bastante ingenioso, basado en
 la eliminación de Jordan, para elegir las redundantes y obtener
 $[a_o^T]$; el método es aplicable a cualquier tipo de estructura.

VI.- Ejemplos

1.- Matriz $[a_o^T]$ triangular inferior:

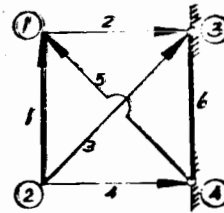


$$[a^T] = \begin{bmatrix} 0 & 0 & 0 & 0 & 0 & 0 & 0 & 0 & 0 & 0 \\ 0 & -1 & 0 & 0 & 0 & 0 & 0 & 0 & -0.71 & 0 \\ 1 & 0 & 0 & 0 & 0 & 0 & 0 & 0 & 0.71 & 0 \\ 0 & 0 & -1 & -0.71 & 0 & 0 & 0 & 0 & 0 & 0 \\ 0 & 0 & 0 & 0.71 & 0 & -1 & 0 & 0 & 0 & 0 \\ 0 & 0 & 0 & 0 & 0 & 0 & 1 & 0 & 0 & 0 \\ 0 & 0 & 0 & 0 & 0 & 0 & 0 & 1 & 0 & 0 \\ 0 & 0 & 0 & 0 & 0 & -0.71 & -1 & 0.71 & 0 & 0 \\ 0 & 0 & 0 & 0 & -1 & 0 & 0 & -0.71 & 0 & -0.71 \end{bmatrix}$$

Obtenemos $[a_o^T]$ con el algoritmo de la inversión de matrices trian-
 gular inferior trabajando con submatrices de 2 x 2.

$$[a_o^T]^{-1} = [b_{oo}] = \begin{bmatrix} 0 & 1 & 0 & 0 & 0 & 0 & 0 & 0 & 0 & 0 \\ -1 & 0 & 0 & 0 & 0 & 0 & 0 & 0 & 0 & 0 \\ 0 & 1 & -1 & 1 & 0 & 0 & 0 & 0 & 0 & 0 \\ 0 & -1.41 & 0 & -1.41 & 0 & 0 & 0 & 0 & 0 & 0 \\ 0 & 1 & 0 & 1 & 0 & 1 & 0 & 0 & 0 & 0 \\ -1 & -1 & 0 & -1 & -1 & 0 & 0 & 0 & 0 & 0 \\ 0 & -1.41 & 0 & -1.41 & 0 & -1.41 & 0 & -1.41 & 0 & -1.41 \\ 0 & 1 & -1 & 1 & 0 & 1 & -1 & 1 & 0 & 0 \end{bmatrix}$$

2.- Desplazamientos en los apoyos y obtención de reacciones



$$d_3 = \begin{bmatrix} 2 \\ 0 \end{bmatrix} \text{ cm.}$$

$$d_4 = \begin{bmatrix} 0 \\ 1 \end{bmatrix} \text{ cm.}$$

$$k_j = 1 \text{ Ton/cm.}$$

$$a = \begin{bmatrix} 0 & 1 & 0 & -1 & 0 & 0 & 0 & 0 \\ -1 & 0 & 0 & 0 & 1 & 0 & 0 & 0 \\ 0 & 0 & -0.71 & -0.71 & 0.71 & 0.71 & 0 & 0 \\ 0 & 0 & -1 & 0 & 0 & 0 & 1 & 0 \\ -0.71 & 0.71 & 0 & 0 & 0 & 0 & 0 & 0.71 \\ 0 & 0 & 0 & 0 & 0 & 1 & 0 & -1 \end{bmatrix}$$

Calculemos $a^T k a$:

$$a k a = K =$$

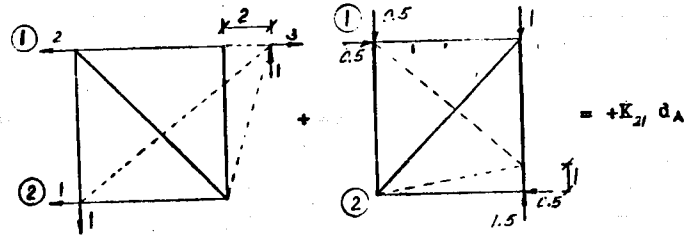
$$K = \begin{bmatrix} 1.5 & -0.5 & 0 & 0 & -1 & 0 & -0.5 & 0.5 \\ -0.5 & 1.5 & 0 & -1 & 0 & 0 & 0.5 & -0.5 \\ 0 & 0 & 1.5 & 0.5 & -0.5 & -0.5 & -1 & 0 \\ 0 & -1 & 0.5 & 1.5 & -0.5 & -0.5 & 0 & 0 \\ -1 & 0 & -0.5 & -0.5 & 1.5 & 0.5 & 0 & 0 \\ 0 & 0 & -0.5 & -0.5 & 0.5 & 1.5 & 0 & -1 \\ -0.5 & 0.5 & -1 & 0 & 0 & 0 & 1.5 & -0.5 \\ 0.5 & -0.5 & 0 & 0 & 0 & -1 & -0.5 & 0 \end{bmatrix}$$

$$= \begin{bmatrix} K_{11} & K_{12} \\ K_{21} & K_{22} \end{bmatrix}$$

$$d_A = \begin{bmatrix} 2 \\ 0 \\ 0 \\ 1 \end{bmatrix}; \quad -K_{21} d_A = \begin{bmatrix} +1.5 \\ +0.5 \\ +1 \\ +1 \end{bmatrix}$$

ESCUELA DE INGENIERIA

Observe que:



$$F_{ax} = \begin{bmatrix} -10 \\ 0 \\ 5 \\ 10 \end{bmatrix} + \begin{bmatrix} 1.5 \\ 0.5 \\ 1 \\ 1 \end{bmatrix} = \begin{bmatrix} -8.5 \\ 0.5 \\ 6 \\ 11 \end{bmatrix}$$

I.- Generalización de vectores fuerza y desplazamiento.

	$\begin{bmatrix} F \\ \end{bmatrix}$	$\begin{bmatrix} d \\ \end{bmatrix}$
Armadura plana	$\begin{bmatrix} F_x \\ F_y \\ \end{bmatrix}$	$\begin{bmatrix} dx \\ dy \\ \end{bmatrix}$

Armadura en el espacio	$\begin{bmatrix} F_x \\ F_y \\ F_z \\ \end{bmatrix}$	$\begin{bmatrix} dx \\ dy \\ dz \\ \end{bmatrix}$
------------------------	--	---

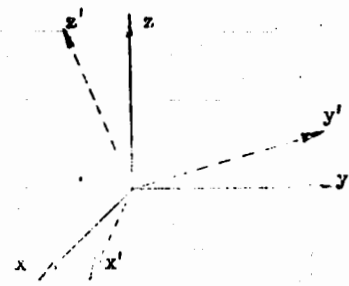
Marco plano	$\begin{bmatrix} F_x \\ F_y \\ M_z \\ \end{bmatrix}$	$\begin{bmatrix} dx \\ dy \\ \theta_z \\ \end{bmatrix}$
-------------	--	---

Marco en el espacio	$\begin{bmatrix} F_x \\ F_y \\ F_z \\ M_x \\ M_y \\ M_z \\ \end{bmatrix}$	$\begin{bmatrix} dx \\ dy \\ dz \\ \theta_x \\ \theta_y \\ \theta_z \\ \end{bmatrix}$
---------------------	---	---

Malla plana	$\begin{bmatrix} F_z \\ M_x \\ M_y \\ \end{bmatrix}$	$\begin{bmatrix} dz \\ \theta_x \\ \theta_y \\ \end{bmatrix}$
-------------	--	---

II.- Transformación de coordenadas.

a).- Rotación
(Espacio tridimensional)



La rotación queda definida con la matriz Λ_3

$$\Lambda_3 = \begin{bmatrix} \cos \alpha & \sin \alpha & 0 \\ -\sin \alpha & \cos \alpha & 0 \\ 0 & 0 & 1 \end{bmatrix}$$

α, β, γ = Angulos que forman los ejes X', Y', Z' con los ejes X, Y, Z .

(Λ_3 es ortogonal; $\Lambda_3^T = \Lambda_3^{-1}$)

$$[F'] = [T] [F]$$

Donde: V' = Vector referido al sistema X, Y, Z (6 componentes)

V = Vector referido al sistema X', Y', Z' (6 componentes)

$$T = \begin{bmatrix} \Lambda_3 & 0 \\ 0 & \Lambda_3 \end{bmatrix} = \text{matriz de transformación (6 x 6)}$$



$$[F'] = [T] [F], \text{ etc.}$$

Donde:

$$T = \begin{bmatrix} \cos \theta & \sin \theta & 0 \\ -\sin \theta & \cos \theta & 0 \\ 0 & 0 & 1 \end{bmatrix}$$

O bien:

$$= \begin{bmatrix} \Lambda_{2'} & 0 \\ 0 & 1 \end{bmatrix}$$

F, d, V = Vectores con tres componentes (Fx, Fy, Fz)

(17)

III.- Transformación de rigideces

Si: $F' = T F$

Se sigue que: $d = T^T d'$ (por contragradencia)

Si k es la matriz de rigidez para F y d

$F = k d$

Se puede obtener k' (matriz de rigidez para F' y d')

$F = k d = k T^T d'$

$T F = T k T^T d'$

$F' = (T k T^T) d'$

$\therefore k' = T k T^T$

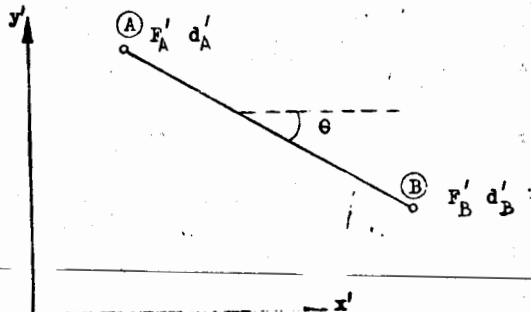
Aplicaciones:

a).- Barras de armaduras



$F = [N]$; $d = [e]$; $k = [EA/L]$

Sistema F', d'



Si $\theta = 0^\circ$

$k' = EA/L$

1	0	-1	0
0	0	0	0
-1	0	1	0
0	0	0	0

(18)

$F' = \begin{bmatrix} F'_{xA} \\ F'_{yA} \\ F'_{xB} \\ F'_{yB} \end{bmatrix} = \begin{bmatrix} F'_A \\ F'_B \end{bmatrix}$

$d' = \begin{bmatrix} d'_{xA} \\ d'_{yA} \\ d'_{xB} \\ d'_{yB} \end{bmatrix} = \begin{bmatrix} d'_A \\ d'_B \end{bmatrix}$

Matriz T: (Por estática)

$T = \begin{bmatrix} -\cos \theta \\ +\sin \theta \\ +\cos \theta \\ -\sin \theta \end{bmatrix}$

$k' = T k T^T$

$k' = EA/L$

c^2	$-cs$	$-c^2$	cs
$-cs$	s^2	cs	s^2
$-c^2$	cs	c^2	$-cs$
cs	$-s^2$	$-cs$	s^2

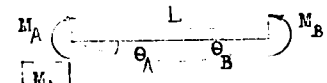
b).- Vigas (considerando únicamente flexión).

Sistema F, d:

$$F = \begin{bmatrix} F_A \\ M_{AB} \end{bmatrix}; \quad d = \begin{bmatrix} d_{yB} \\ \theta_{zB} \end{bmatrix}$$

$$k = \begin{bmatrix} 12EI/L^3 & -6EI/L^2 \\ -6EI/L^2 & 4EI/L \end{bmatrix} \quad (\text{Ver apéndice})$$

Sistema F', d':



$$F' = \begin{bmatrix} M_A \\ M_B \end{bmatrix} \quad (\text{momentos Flex.}); \quad d' = \begin{bmatrix} \theta_A \\ \theta_B \end{bmatrix}$$

Matriz T: (Por estática)

$$T = \begin{bmatrix} L & 1 \\ 0 & 1 \end{bmatrix}$$

$$k' = EI/L \begin{bmatrix} 4 & -2 \\ -2 & 4 \end{bmatrix}$$

Nota: Obsérvese que los ángulos θ_A y θ_B se miden a partir de la línea (A)-(B), se considera que (A) y (B) no se desplazan relativamente.

IV.- Ensamble de la matriz K.

Se ha visto que la matriz K (rigidez ensamblada de la estructura), se obtiene:

$$K = a^T k a$$

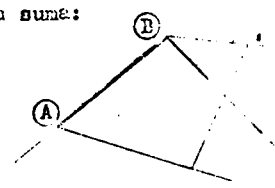
donde:

$$F = a^T p$$

$$c = a d$$

Obsérvese que $[a]$ es semejante a la $[p]$, $[c]$ se transfiere al sistema F', $[d]$. Hay dos formas de obtener K sin afectar directamente.

1).- Regla de la suma:

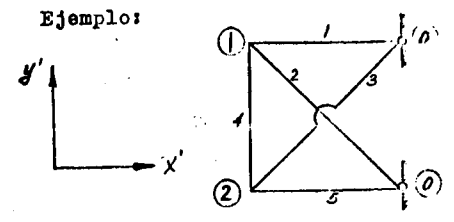


Consideremos la barra (A)-(B) de una estructura acoplada referida al sistema global x', y' .

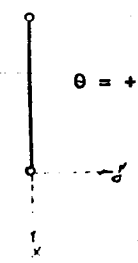
$$[k'] = \begin{bmatrix} k'_{AA} & k'_{AB} \\ k'_{BA} & k'_{BB} \end{bmatrix}$$

$$[K] = \sum_{j=1}^{j=b} \begin{bmatrix} \hat{A}_j \\ \hat{B}_j \end{bmatrix} k_j$$

Ejemplo:



Barra 1-2 (4)



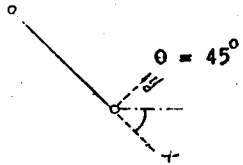
(21)

Barra ①-② (1)

$\theta = 0^\circ$

$$k'_1 = EA/L \begin{bmatrix} \textcircled{1} & & & \textcircled{0} \\ 1 & 0 & -1 & 0 \\ 0 & 0 & 0 & 0 \\ -1 & 0 & 1 & 0 \\ 0 & 0 & 0 & 0 \end{bmatrix}$$

Barra ①-② (2)



$$k'_2 = EA/L \begin{bmatrix} \textcircled{1} & & & \textcircled{0} \\ 1/2 & -1/2 & -1/2 & 1/2 \\ -1/2 & 1/2 & +1/2 & -1/2 \\ -1/2 & 1/2 & 1/2 & -1/2 \\ 1/2 & -1/2 & -1/2 & 1/2 \end{bmatrix}$$

Barra ②-③ (3)

$\theta = -45^\circ$

$$k'_3 = EA/L \begin{bmatrix} \textcircled{0} & & & \textcircled{2} \\ 1/2 & 1/2 & -1/2 & -1/2 \\ 1/2 & 1/2 & -1/2 & -1/2 \\ -1/2 & -1/2 & 1/2 & 1/2 \\ -1/2 & -1/2 & 1/2 & 1/2 \end{bmatrix}$$

Barra ②-③ (5)

$\theta = 0^\circ$

$$k'_5 = EA/L \begin{bmatrix} \textcircled{2} & & & \textcircled{0} \\ 1 & 0 & -1 & 0 \\ 0 & 0 & 0 & 0 \\ -1 & 0 & 1 & 0 \\ 0 & 0 & 0 & 0 \end{bmatrix}$$

(22)

$$K = \begin{bmatrix} \textcircled{1} & & & \textcircled{2} \\ 0+1+1/2 & 0+0-1/2 & 0 & 0 \\ 0+0-1/2 & 1+0+1/2 & 0 & -1 \\ 0 & 0 & 0+1/2+1 & 0+1/2+0 \\ 0 & -1 & 0+1/2+0 & 1+1/2+0 \end{bmatrix}$$

$$K = EA/L \begin{bmatrix} 3/2 & -1/2 & 0 & 0 \\ -1/2 & 3/2 & 0 & -1 \\ 0 & 0 & 3/2 & 1/2 \\ 0 & -1 & 1/2 & 3/2 \end{bmatrix}$$

2).- Generalización de a^T
(Ejemplo)



EI = cte.

Se quiere obtener $[K]$, considerando solo el desplazamiento vertical $[\Delta]$ en ① producido por una carga $[P]$, usemos la rigidez a flexión en función de momentos.

Sistema F, d:

$$F = \begin{bmatrix} M_{21} \\ M_{12} \\ M_{13} \\ M_{31} \end{bmatrix}; \quad d = \begin{bmatrix} \theta_{21} \\ \theta_{12} \\ \theta_{13} \\ \theta_{31} \end{bmatrix}$$

$$K = EI/L \begin{bmatrix} 4 & -2 & & \\ -2 & 4 & & \\ & & 4 & -2 \\ & & -2 & 4 \end{bmatrix}$$

Sistema F' , d' :

$$F' = [P]; \quad d' = [\Delta]$$

Matriz T (a¹ generalizada)

$$T = 1/L \begin{bmatrix} 1 & -1 & -1 & 1 \end{bmatrix}$$

$$K' = T K T^1 \quad (K' \text{ matriz ensamblada})$$

$$K' = EI/L^3 [24]$$

V.- Apéndice

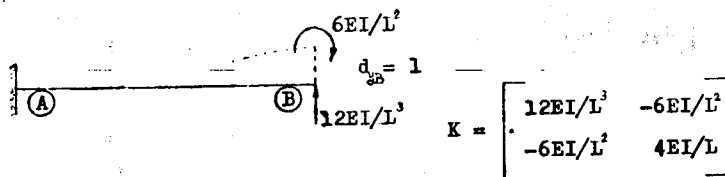
1).- Interpretación de K

$$F = K d$$

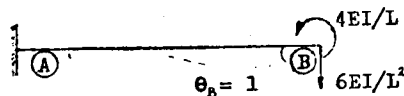
$$\text{Si: } d = I$$

$$F = K$$

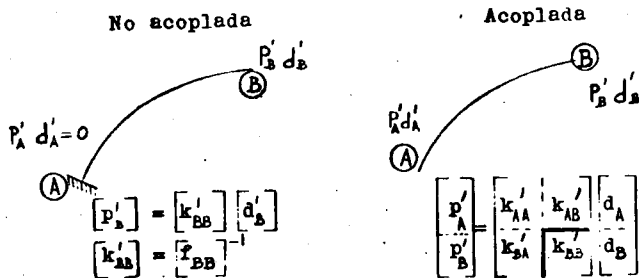
Por consiguiente $[K]$ son las fuerzas que hay que aplicar para producir desplazamientos unitarios; ejemplo:



$$K = \begin{bmatrix} 12EI/L^3 & -6EI/L^2 \\ -6EI/L^2 & 4EI/L \end{bmatrix}$$



Relación entre rigideces "no acopladas" y rigideces "acopladas"



Por estática: (Ver apéndice)

$$\begin{bmatrix} P_A \\ P_B \end{bmatrix} = \begin{bmatrix} -H_{BA} \\ I \end{bmatrix} \begin{bmatrix} P_B \end{bmatrix}$$

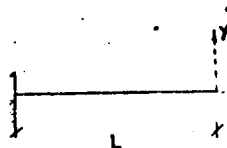
Por consistencia:

$$\begin{bmatrix} k_{AA}' & k_{AB}' \\ k_{BA}' & k_{BB}' \end{bmatrix} = \begin{bmatrix} -H_{BA} & I \\ I & \end{bmatrix} \begin{bmatrix} k_{BB} \\ \end{bmatrix} \begin{bmatrix} -H_{BA}^T & I \end{bmatrix}$$

$$\begin{bmatrix} k_{AA}' & k_{AB}' \\ k_{BA}' & k_{BB}' \end{bmatrix} = \begin{bmatrix} H_{BA} & k_{BB} & H_{BA}^T & -H_{BA} & k_{BB} \\ -k_{BB} & H_{BA} & & & \end{bmatrix}$$

Para una viga recta de sección constante, considerando los efectos de flexión, fuerza normal y cortante:

$$f_{BB} = \begin{bmatrix} \frac{L}{EA} & 0 & 0 \\ 0 & \frac{L^3}{3EI} (1+c) & \frac{L^2}{2EI} \\ 0 & \frac{L^2}{2EI} & \frac{L}{EI} \end{bmatrix}$$



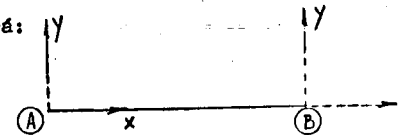
$$c = 6(1+u) \left(\rho/L \right)^2 k_{fornia}$$

$$\left(\rho = \sqrt{I/A} ; k_{fornia} = A/A_{corie} \right)$$

Invirtiendo a f_{BB} , se obtiene a k_{BB}

$$k = \begin{bmatrix} \frac{EA}{L} & 0 & 0 \\ 0 & \frac{12EI}{L^3(1+4c)} & \frac{-6EI}{L^2(1+4c)} \\ 0 & \frac{-6EI}{L^2(1+4c)} & \frac{4EI(1+c)}{L(1+4c)} \end{bmatrix}$$

La matriz acoplada será:



$$\begin{bmatrix} k_{AA} & k_{AB} \\ k_{BA} & k_{BB} \end{bmatrix} = \begin{bmatrix} \frac{EA}{L} & & & & & \\ & \frac{12EI}{L^3(1+4c)} & & & & \\ & & \frac{6EI}{L^2(1+4c)} & & & \\ & & & \frac{4EI(1+c)}{L(1+4c)} & & \\ -\frac{EA}{L} & & & & & \\ & \frac{-12EI}{L^3(1+4c)} & & & & \\ & & \frac{-6EI}{L^2(1+4c)} & & & \\ & \frac{6EI}{L^2(1+4c)} & & \frac{2EI(1-2c)}{L(1+4c)} & & \\ & & & & & \end{bmatrix} \begin{matrix} \\ \\ \\ \\ \frac{GA}{L} \\ \\ \\ \\ \end{matrix} \begin{matrix} \\ \\ \\ \\ \\ \\ \\ \\ \end{matrix}$$

SIMETRICA

Conociendo la matriz acoplada de las barras que forman una estructura, bastará aplicar la regla de la suma para obtener la matriz de rigidez de la estructura K' (matriz de rigidez ensamblada)

Nota: para pasar de coordenadas locales a globales, recuerde que:

$$k' = T k T^T$$

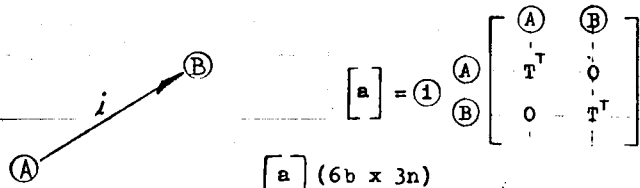
O bien:

$$k'_{BB} = T k_{BB} T^T$$

$$k'_{AA} = T k_{AA} T^T \text{ etc.}$$

II.- Matriz de continuidad para marcos planos

a).- Alternativa 1



$$[a] \text{ (6b x 3n)}$$

$$[k] = \begin{bmatrix} k_1 & & & & & \\ & k_2 & & & & \\ & & & & & \\ & & & & & \\ & & & & & \\ & & & & & k_6 \end{bmatrix}$$

ki = rigidez acoplada de la barra i

$$[K'] = [a^T][k][a]$$

Solución:

$$d' = K'^{-1} F'$$

$$e = a d'$$

$$p = k e \text{ (Obteniéndose } p \text{ y } p', \text{ en coordenadas locales, de cada barra)}$$

b).- Alternativa 2

$$[a] = \begin{bmatrix} 1 & & & & & \\ & -H_{BA}^{-1} T & & & & \\ & & T & & & \\ & & & & & \\ & & & & & \\ & & & & & \end{bmatrix}$$

$$[a] \text{ (3b x 3n)}$$

$$[k] = \begin{bmatrix} k_{BB1} & & & & & \\ & k_{BB2} & & & & \\ & & & & & \\ & & & & & \\ & & & & & \\ & & & & & k_{BBb} \end{bmatrix}$$

k_{BBi} = matriz de rigidez "no acoplada" de la barra i.

$$K' = a^T k a$$

Solución:

$$d' = (K')^{-1} F'$$

$$e = a d'$$

$$p = k e$$

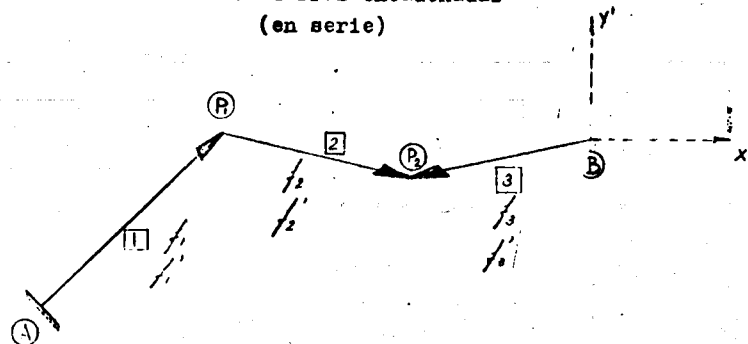
Obteniéndose sólo p_B, en coordenadas locales, de cada barra; p_A se obtiene por estática:

$$p_A = -H_{BA} p_B$$

$$H_{BA} = \begin{bmatrix} 1 & 0 & 0 \\ 0 & 1 & 0 \\ 0 & L & 1 \end{bmatrix} \text{ (barra recta)}$$

(Coordenadas locales)

III.- Flexibilidad de barras encadenadas (en serie)



Por definición:

$$d'_B = f_{BB} P'_B$$

$$f_{BB} = H'_{BB} + H'_{BB} f'_3 H'_{BB} + H'_{BB} f'_2 H'_{BB} + H'_{BB} f'_1 H'_{BB}$$

Nota: Si se tienen dos sistemas F, d y F', d' las relaciones entre sus flexibilidades son las siguientes:

Si: $F = A F'$

$$d' = A^T d \quad (\text{por contragradiente})$$

$$f' = A^T f A$$

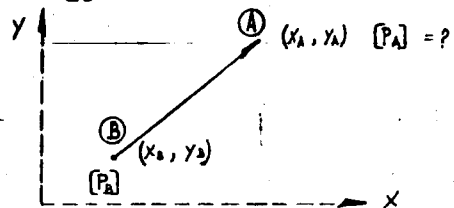
Por consiguiente:

$$(F = T^T F')$$

$$f' = T f T^T$$

Apendice:

I.- Matriz [H] de transporte de fuerzas.



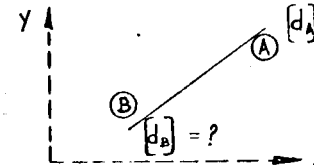
Aplicada P_A en B se quiere transportar a A: por estática:

$$\begin{bmatrix} P_{Ax} \\ P_{Ay} \\ M_{Az} \end{bmatrix} = \begin{bmatrix} 1 & 0 & 0 \\ 0 & 1 & 0 \\ (y_A - y_B) & -(x_A - x_B) & 1 \end{bmatrix} \begin{bmatrix} P_{Bx} \\ P_{By} \\ M_{Bz} \end{bmatrix}$$

H_{BA} = Matriz para transportar fuerzas de B a A.

Nota: Observe que $H_{BA} = (H_{AB})^{-1}$

II.- Matriz [H'] de transporte de desplazamientos:



Supongamos que a A se le da un desplazamiento $[d_A]$, cuanto vale $[d_B]$ si la barra AB se considera rígida, por geometría:

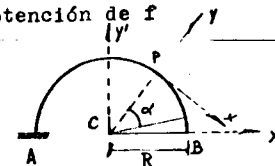
$$\begin{bmatrix} d_{Bx} \\ d_{By} \\ \theta_{Bz} \end{bmatrix} = \begin{bmatrix} 1 & 0 & (y_A - y_B) \\ 0 & 1 & -(x_A - x_B) \\ 0 & 0 & 1 \end{bmatrix} \begin{bmatrix} d_{Ax} \\ d_{Ay} \\ \theta_{Az} \end{bmatrix}$$

H'_{BA} = Matriz para transportar desplazamientos de A a B.

Nota: Este resultado se puede obtener directamente aplicando el principio de contragradiente a la formulación anterior.

Ejemplos:

I.- Obtención de f



E = cte
G = cte
Sección = constante

Conviene obtener f_{cc} , suponiendo que C este unido rigidamente a B.

$$f_{BB} = H'_{BC} f_{cc} H_{BC}$$

f_{cc} es más fácil de calcular que f_{BB} , por ser C el centro de la circunferencia.

$$f_{cc} = \int H'_{cp} T \phi T^T H'_{cp} ds$$

$$H = \begin{bmatrix} 1 & 0 & 0 \\ 0 & 1 & 0 \\ R \sin \alpha & -R \cos \alpha & 1 \end{bmatrix}; \quad T = \begin{bmatrix} \sin \alpha & \cos \alpha & 0 \\ -\cos \alpha & \sin \alpha & 0 \\ 0 & 0 & 1 \end{bmatrix}$$

$$x' = R \sin \alpha$$

$$y' = R \cos \alpha$$

$$\theta = 90 - \alpha$$

$$\phi = \begin{bmatrix} \frac{1}{EA} & & \\ & \frac{1}{GA_c} & \\ & & \frac{1}{EI} \end{bmatrix}$$

$$A_c = \frac{A}{k_{forma}}$$

$$G = \frac{E}{2(1+\nu)}$$

$$T^T H_{CP} = \begin{bmatrix} s & -c & 0 \\ c & s & 0 \\ R s & -R c & 1 \end{bmatrix}; \quad H_{CC} T^T = \begin{bmatrix} s & c & R s \\ -c & s & -R c \\ 0 & 0 & 1 \end{bmatrix}$$

$$\phi (T^T H_{CP}) = \begin{bmatrix} \frac{s}{EA} & \frac{-c}{EA} & 0 \\ \frac{c}{GA_c} & \frac{s}{GA_c} & 0 \\ \frac{R s}{EI} & \frac{-R c}{EI} & \frac{1}{EI} \end{bmatrix}$$

$$(H_{CP}^T T) (\phi T^T H_{CP}) = \begin{bmatrix} \left[\frac{s^2}{EA} + \frac{c^2}{GA_c} + \frac{R^2 s^2}{EI} \right] & & \\ \left[\frac{-cs}{EA} + \frac{cs}{GA_c} - \frac{Rcs}{EI} \right] & \left[\frac{c^2}{EA} + \frac{s^2}{GA_c} + \frac{R^2 c^2}{EI} \right] & \\ \left[\frac{R s}{EI} \right] & \left[\frac{-R c}{EI} \right] & \left[\frac{1}{EI} \right] \end{bmatrix}$$

$$ds = R d\alpha$$

Obtenemos las integrales que figuran:

$$\int_0^{\pi} s^2 d\alpha = \left[\frac{\alpha}{2} - \frac{\sin 2\alpha}{4} \right]_0^{\pi} = \frac{\pi}{2}$$

$$\int_0^{\pi} c^2 d\alpha = \left[\frac{\alpha}{2} + \frac{\cos 2\alpha}{4} \right]_0^{\pi} = \frac{\pi}{2} + \frac{1}{4} - \frac{1}{4} = \frac{\pi}{2}$$

$$\int_0^{\pi} c s d\alpha = \left[\frac{\sin^2 \alpha}{2} \right]_0^{\pi} = 0; \quad \int_0^{\pi} s d\alpha = 2; \quad \int_0^{\pi} c d\alpha = 0$$

$$f_{CC} = \begin{bmatrix} \frac{\sqrt{R}}{2EA} + \frac{\sqrt{R}}{2GA_c} + \frac{\sqrt{R}}{2EI} & & \\ 0 & \left[\frac{\sqrt{R}}{2EA} + \frac{\sqrt{R}}{2GA_c} + \frac{\sqrt{R}}{2EI} \right]^2 & \\ \left[\frac{2R^2}{EI} \right] & 0 & \left[\frac{\sqrt{R}}{EI} \right] \end{bmatrix}$$

Simétrica

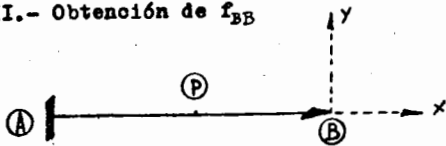
Obtenemos f_{BB} :

$$H_{BC} = \begin{bmatrix} 1 & 0 & 0 \\ 0 & 1 & 0 \\ 0 & R & 1 \end{bmatrix}$$

$$f_{CC} H_{BC} = \begin{bmatrix} \frac{\sqrt{R}}{2} \left[\frac{1}{EA} + \frac{1}{GA_c} + \frac{R^2}{EI} \right] & \left[\frac{2R^2}{EI} \right] & \left[\frac{2R^2}{EI} \right] \\ 0 & \frac{\sqrt{R}}{2} \left[\frac{1}{EA} + \frac{1}{GA_c} + \frac{R^2}{EI} \right] & 0 \\ \left[\frac{2R^2}{EI} \right] & \left[\frac{\sqrt{R}}{EI} \right] & \left[\frac{\sqrt{R}}{EI} \right] \end{bmatrix}$$

(32)

$$H_{BC}^T (f_{cc} H_{bc}) = f_{bc} = \begin{bmatrix} \frac{\sqrt{R}}{2} \left[\frac{1}{EA} + \frac{1}{GA_c} + \frac{R^2}{EI} \right] & \left[\frac{2R^3}{EI} \right] & \left[\frac{2R^2}{EI} \right] \\ \left[\frac{2R^3}{EI} \right] & \frac{\sqrt{R}}{2} \left[\frac{1}{EA} + \frac{1}{GA_c} + \frac{3R^2}{EI} \right] & \left[\frac{\sqrt{R}}{EI} \right] \\ \left[\frac{2R^2}{EI} \right] & \left[\frac{\sqrt{R}}{EI} \right] & \left[\frac{\sqrt{R}}{EI} \right] \end{bmatrix}$$

II.- Obtención de f_{BB} 

E = cte.

G = cte.

Sección constante

$$H_{BP} = \begin{bmatrix} 1 & 0 & 0 \\ 0 & 1 & 0 \\ 0 & -x & 1 \end{bmatrix}; T = I; \phi = \begin{bmatrix} \frac{1}{EA} \\ \frac{1}{GA_c} \\ \frac{1}{EI} \end{bmatrix}$$

$$H_{BP}^T \phi = \begin{bmatrix} \frac{1}{EA} & 0 & 0 \\ 0 & \frac{1}{GA_c} & -\frac{x}{EI} \\ 0 & 0 & \frac{1}{EI} \end{bmatrix}$$

$$(H_{BP}^T \phi) H_{BP} = \begin{bmatrix} \frac{1}{EA} & 0 & 0 \\ 0 & \left[\frac{1}{GA} + \frac{x^2}{EI} \right] - \frac{x}{EI} & -\frac{x}{EI} \\ 0 & -\frac{x}{EI} & \frac{1}{EI} \end{bmatrix}$$

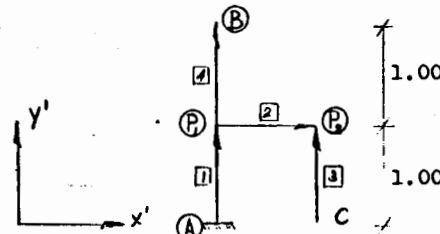
Integrado: $\int_{x=-L}^{x=0} ds = dx$

(33)

33

$$f_{BB} = \begin{bmatrix} \frac{L}{EA} & 0 & 0 \\ 0 & \left(\frac{L^3}{3EI} + \frac{L}{GA_c} \right) \frac{1}{2EI} \\ 0 & \frac{L^2}{2EI} & \frac{L}{EI} \end{bmatrix}$$

Nota: $\frac{L^3}{3EI} + \frac{L}{GA_c} = \frac{L^3}{3EI} \left[1 + \frac{3EI}{GA_c L^2} \right] = \dots$

III.- Obtención de f_{BB} f_{cc} f_{bc} f_{cb} :

$$f_{BB} = f_4' + H_{B_4}^T f_1' H_{BP_2}$$

$$f_{cc} = H_{c_3}^T f_3' H_{cP_1} + H_{c_2}^T f_2' H_{cP_1} + H_{c_1}^T f_1' H_{cP_1}$$

$$f_{bc} = H_{B_2}^T f_2' H_{cP_2}$$

$$f_{cb} = f_{bc}^T$$

Obtención de f_i (flexibilidad en ...)

$$\frac{L}{EA} = \frac{1}{2 \times 10^7 \times 0.01} = 0.5 \times 10^{-8}$$

$$\frac{L}{3EI} = \frac{1}{3 \times 2 \times 10^7 \times 2 \times 10^{-4}} = 0$$

$$\frac{L}{2EI} = \frac{1}{2 \times 2 \times 10^7 \times 2 \times 10^{-4}} = 0$$

$$\frac{L}{EI} = \frac{1}{2 \times 10^7 \times 2 \times 10^{-4}} = 0.25$$

$$f_1 = f_2 = f_3 = f_4 = \begin{bmatrix} 0.05 & 0 & 0 \\ 0 & 0.83 & 1.25 \\ 0 & 1.25 & 2.5 \end{bmatrix} \times 10^{-4}$$

Obtención de f'_i (flexibilidad en coordenadas globales)

a).- Barras [1] [3] [4]
 $\theta = -90^\circ$

$$T = \begin{bmatrix} 0 & -1 & 0 \\ 1 & 0 & 0 \\ 0 & 0 & 1 \end{bmatrix}$$

$$f'_1 = f'_3 = f'_4 = \begin{bmatrix} 0.83 & 0 & -1.25 \\ 0 & 0.05 & 0 \\ -1.25 & 0 & 2.5 \end{bmatrix} \times 10^{-4}$$

b).- Barra [2]

$$f'_2 = f_2 = \begin{bmatrix} 0.05 & 0 & 0 \\ 0 & 0.83 & 1.25 \\ 0 & 1.25 & 2.5 \end{bmatrix} \times 10^{-4}$$

Obtención de las matrices de transporte:

$$H_{BP_1} = \begin{bmatrix} 1 & 0 & 0 \\ 0 & 1 & 0 \\ -1.0 & 0 & 1 \end{bmatrix}; \quad H = \begin{bmatrix} 1 & 0 & 0 \\ 0 & 1 & 0 \\ +1.0 & 0 & 1 \end{bmatrix}$$

$$H_{CR_1} = \begin{bmatrix} 1 & 0 & 0 \\ 0 & 1 & 0 \\ 1.00 & 1.00 & 1 \end{bmatrix}$$

Obtención de f_{BB} :

$$H_{BP_2}^T f'_1 = \begin{bmatrix} 2.08 & 0 & -3.75 \\ 0 & 0.05 & 0 \\ 1.25 & 0 & 2.5 \end{bmatrix}$$

$$(H_{BP_2}^T f'_1) H_{BP_2} = \begin{bmatrix} 5.83 & 0 & -3.75 \\ 0 & 0.05 & 0 \\ -3.75 & 0 & 2.50 \end{bmatrix}$$

$$f_{BB} = \begin{bmatrix} 6.66 & 0 & -5.00 \\ 0 & 0.10 & 0 \\ -5.00 & 0 & 5.00 \end{bmatrix} \times 10^{-4}$$

Obtención de f_{cc} :

$$H_{CR_2}^T f'_3 = \begin{bmatrix} -0.42 & 0 & 1.25 \\ 0 & 0.05 & 0 \\ -1.25 & 0 & 2.50 \end{bmatrix}; \quad (H_{CR_2}^T f'_3) H_{CR_2} = \begin{bmatrix} 0.83 & 0 & 1.25 \\ 0 & 0.05 & 0 \\ 1.25 & 0 & 2.50 \end{bmatrix}$$

$$H_{CR_2}^T f'_2 = \begin{bmatrix} 0.05 & 1.25 & 2.50 \\ 0 & -0.83 & 1.25 \\ 0 & 1.25 & 2.5 \end{bmatrix}; \quad (H_{CR_2}^T f'_2) H_{CR_2} = \begin{bmatrix} 2.55 & 1.25 & 2.50 \\ 1.25 & 0.83 & 1.25 \\ 2.50 & 1.25 & 2.50 \end{bmatrix}$$

$$H_{CR_2}^T f'_1 = \begin{bmatrix} -0.42 & 0 & 1.25 \\ -1.25 & 0.05 & 2.50 \\ -1.25 & 0 & 2.5 \end{bmatrix}; \quad (H_{CR_2}^T f'_1) H_{CR_2} = \begin{bmatrix} 0.83 & 1.25 & 1.25 \\ 1.25 & 2.55 & 2.50 \\ 1.25 & 2.5 & 2.50 \end{bmatrix}$$

$$f_{cc} = \begin{bmatrix} 4.21 & 2.50 & 5.0 \\ 2.50 & 3.43 & 3.75 \\ 5.0 & 3.75 & 7.50 \end{bmatrix} \times 10^{-4}$$

FACULTAD DE INGENIERIA

(36)

Obtención de f_{BC} :

$$f_{BB}^i = f_i^i$$

$$H_{BB}^T f_i^i = \begin{bmatrix} 2.08 & 0 & -2.50 \\ 0 & 0.05 & 0 \\ -1.25 & 0 & 2.50 \end{bmatrix}; f_{BC} = (H_{BB}^T f_i^i) H_{cP_2}$$

$$f_{BC} = \begin{bmatrix} -0.42 & -2.50 & -2.50 \\ 0 & 0.05 & 0 \\ 1.25 & 2.50 & 2.50 \end{bmatrix} \times 10^{-4}$$

Recordemos que:

$$\begin{bmatrix} d'_B \\ d'_C \end{bmatrix} = \begin{bmatrix} f'_{BB} & f'_{BC} \\ f'_{CB} & f'_{CC} \end{bmatrix} \begin{bmatrix} P'_B \\ P'_C \end{bmatrix} \quad (\text{Si: } d'_A = 0)$$

O bien:

$$d' = [\gamma] P'$$

Obtenemos:

$$[\gamma]^{-1}$$

$$[\gamma] = \begin{bmatrix} 6.66 & 0 & -5.00 & -0.42 & -2.50 & -2.50 \\ 0 & 0.10 & 0 & 0 & 0.05 & 0 \\ -5.00 & 0 & 5.00 & 1.25 & 2.50 & 2.50 \\ -0.42 & 0 & 1.25 & 4.21 & 2.50 & 5.0 \\ -2.50 & 0.05 & 2.50 & 2.50 & 3.43 & 3.75 \\ -2.50 & 0 & 2.50 & 5.0 & 3.75 & 7.50 \end{bmatrix} \times 10^{-4}$$

$$[\gamma]^{-1} = \begin{bmatrix} k'_{BB} & k'_{BC} \\ k'_{CB} & k'_{CC} \end{bmatrix}$$

(37)

$$[\gamma]^{-1} = \begin{bmatrix} 1.217 & -0.067 & 1.055 & -1.230 & 0.133 & 0.808 \\ -0.067 & 10.224 & 0.081 & 0.133 & -0.447 & 0.086 \\ 1.055 & 0.081 & 1.253 & -0.904 & 0.162 & 0.618 \\ -1.230 & 0.133 & -0.904 & 2.460 & -0.266 & 1.615 \\ 0.133 & -0.447 & -0.162 & -0.266 & 0.895 & -0.171 \\ 0.808 & 0.086 & 0.618 & -1.615 & -0.171 & 1.360 \end{bmatrix} \times 10^4$$

Obtenemos la matriz de rigidez "acoplada", esto es cuando $d'_A \neq 0$; $d'_B \neq 0$; $d'_C \neq 0$

Por estática:

$$\begin{bmatrix} P'_A \\ P'_B \\ P'_C \end{bmatrix} = \begin{bmatrix} -H'_{BA} & -H'_{CA} \\ I & 0 \\ 0 & I \end{bmatrix} \begin{bmatrix} P'_B \\ P'_C \end{bmatrix}$$

$$\begin{bmatrix} k'_{AA} & k'_{AB} & k'_{AC} \\ k'_{BA} & k'_{BB} & k'_{BC} \\ k'_{CA} & k'_{CB} & k'_{CC} \end{bmatrix} = \begin{bmatrix} -H'_{BA} & -H'_{CA} \\ I & 0 \\ 0 & I \end{bmatrix} \begin{bmatrix} k'_{BB} & k'_{BC} \\ k'_{CB} & k'_{CC} \end{bmatrix} \begin{bmatrix} -H'_{BA} & I & 0 \\ -H'_{CA} & 0 & I \end{bmatrix} =$$

$$= \begin{bmatrix} (H'_{BA} k'_{BB} H_{BA}^T + H'_{CA} k'_{CC} H_{CA}^T + H'_{CA} k'_{CB} H_{BA}^T + H'_{BA} k'_{BC} H_{CA}^T) & -H'_{BA} k'_{BB} - H'_{CA} k'_{CB} & -H'_{BA} k'_{BC} - H'_{CA} k'_{CC} \\ -k'_{BB} H_{BA}^T - k'_{BC} H_{CA}^T & k'_{BB} & k'_{BC} \\ -k'_{CB} H_{BA}^T - k'_{CC} H_{CA}^T & k'_{CB} & k'_{CC} \end{bmatrix}$$

Generalización de la fórmula dada en la hoja 24

(38)

SOLEC 19:00 034 10/16/70

MATRIZ A

.66600000E+01	.00000000E+00	-.50000000E+01	-.42000000E+00
-.25000000E+01	-.25000000E+01	.00000000E+00	.10000000E+00
.00000000E+00	.00000000E+00	.50000000E-01	.00000000E+00
-.50000000E+01	.00000000E+00	.50000000E+01	.12500000E+01
.25000000E+01	.25000000E+01	-.42000000E+00	.00000000E+00
.12500000E+01	.42100000E+01	.25000000E+01	.50000000E+01
-.25000000E+01	.50000000E-01	.25000000E+01	.25000000E+01
.34300000E+01	.37500000E+01	-.25000000E+01	.00000000E+00
.25000000E+01	.50000000E+01	.37500000E+01	.75000000E+01

MATRIZ (A) (-1)

.12174584E+01	-.66563716E-01	.10545104E+01	-.12300975E+01
.13312743E+00	.80781727E+00	-.66563715E-01	.10223654E+02
.80941477E-01	.13312743E+00	-.44730816E+00	.85734063E-01
.10545104E+01	.80941476E-01	.12526551E+01	-.90420154E+00
-.16188295E+00	.61769426E+00	-.12300975E+01	.13312743E+00
-.90420153E+00	.24601949E+01	-.26625486E+00	-.16156345E+01
.13312743E+00	-.44730816E+00	-.16188295E+00	-.26625486E+00
.89461633E+00	-.17146813E+00	.80781726E+00	.85734063E-01
.61769425E+00	-.16156345E+01	-.17146813E+00	.13595314E+01

Resu

I.-

don

ANALISIS ESTRUCTURAL II.

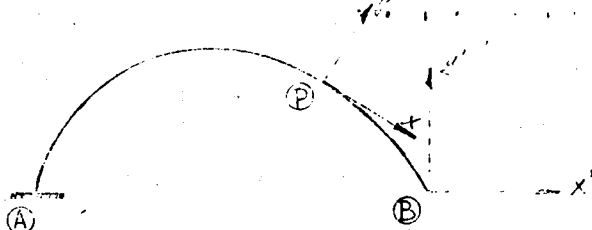
II

Co

ru

Resumen (5)

I.- Flexibilidades de barras curvas de sección variable:



$$f'_{PB} = \int_L H'_{BP}{}^T \phi T^T H'_{BP} ds$$

donde:

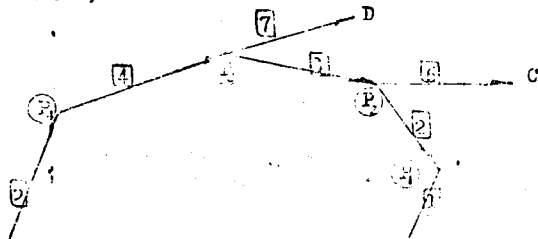
$$H'_{BP} = \begin{bmatrix} 1 & 0 & 0 \\ 0 & 1 & 0 \\ y'_p & -x'_p & 1 \end{bmatrix}$$

$$T = \begin{bmatrix} \cos \theta & \sin \theta & 0 \\ -\sin \theta & \cos \theta & 0 \\ 0 & 0 & 1 \end{bmatrix}$$

$$\phi = \begin{bmatrix} \frac{1}{EA} \\ \frac{1}{GA_c} \\ \frac{1}{EI} \end{bmatrix}; \quad (A_c = \frac{A}{K_{forma}})$$

II.- Flexibilidades y rigideces de árboles

Consideremos un elemento con 4 nudos (4 puntos donde se pueden aplicar fuerzas externas)



La matriz k' ("acoplada") tendrá los siguientes elementos:

$$k' = \begin{bmatrix} k'_{AA} & k'_{AB} & k'_{AC} & k'_{AD} \\ k'_{BA} & k'_{BB} & k'_{BC} & k'_{BD} \\ k'_{CA} & k'_{CB} & k'_{CC} & k'_{CD} \\ k'_{DA} & k'_{DB} & k'_{DC} & k'_{DD} \end{bmatrix}$$

Considerando empotrado a A

Para obtener esta matriz habra que invertir a la matriz γ

$$\gamma = \begin{bmatrix} f'_{BB} & f'_{BC} & f'_{BD} \\ f'_{CB} & f'_{CC} & f'_{CD} \\ f'_{DB} & f'_{DC} & f'_{DD} \end{bmatrix}$$

$$\text{donde: } f'_{BB} = f'_3 + H'_{B2}{}^T f'_2 H'_{B2} + H'_{B2}{}^T f'_3 H'_{B2} + H'_{B2}{}^T f'_4 H'_{B2} + H'_{B2}{}^T f'_5 H'_{B2}$$

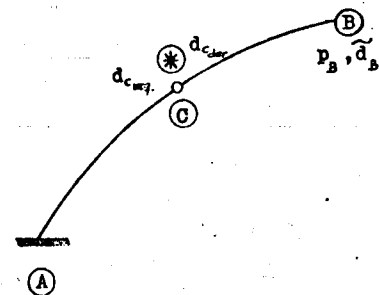
$$f'_{CC} = f'_6 + H'_{C2}{}^T f'_2 H'_{C2} + H'_{C2}{}^T f'_3 H'_{C2} + H'_{C2}{}^T f'_4 H'_{C2} + H'_{C2}{}^T f'_5 H'_{C2}$$

$$f'_{BC} = H'_{B2}{}^T f'_2 H'_{C2} + H'_{B2}{}^T f'_3 H'_{C2} + H'_{B2}{}^T f'_4 H'_{C2} + H'_{B2}{}^T f'_5 H'_{C2}$$

$$\text{donde: } f'_{BB} = f'_3 + H'_{B2}{}^T f'_2 H'_{B2} + H'_{B2}{}^T f'_3 H'_{B2} + H'_{B2}{}^T f'_4 H'_{B2} + H'_{B2}{}^T f'_5 H'_{B2}$$

Notá: Con elementos de n nudos las matrices de rigideces acopladas serán de dimensión (n x n) y se podrá aplicar la regla de la suma para ensamblar la matriz K' , utilizando las rigideces acopladas en coordenadas globales.

III.- Rigideces de barras con discontinuidades (Releases)



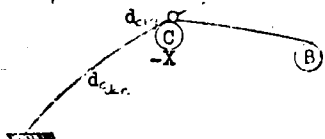
* discontinuidad en algunos componentes del desplazamiento; por ejemplo: giro o si se trata de una articulación.

Se desea obtener \tilde{k}_{23} tal que

$$p_b = \tilde{k}_{23} \tilde{d}_3$$

Sea $[X]$ la discontinuidad de $[d_c]$

$$X = d_{c,dsc} - d_{c,reg}$$



d_b (sin discontinuidad)

\tilde{d}_3 (con discontinuidad)

$$d_b = \tilde{d}_3 + H_{bc}^T (-X)$$

$$p_b = k_{b3} d_b = k_{b3} (\tilde{d}_3 - H_{bc}^T X)$$

En la discontinuidad se tiene que:

$$\Lambda p_c = \Lambda H_{bc} p_b = 0$$

donde Λ es una matriz que define la discontinuidad en C

Ejemplos: a).- Articulación $\text{---} \text{---} \text{---} \Lambda = \begin{bmatrix} 0 & 0 & 1 \end{bmatrix}$

$$p_{cx} = 0 \text{ (Momento flexionante en C) = 0}$$

b).- Discontinuidad y $\text{---} \text{---} \text{---} \Lambda = \begin{bmatrix} 0 & 1 & 0 \end{bmatrix}$

$$p_{cy} = 0 \text{ (Fuerza cortante en C) = 0}$$

Observe que: $X = \Lambda^T x$

donde x = Parte no nula de X

(Si se trata de una articulaci3n:)

$$X = \begin{bmatrix} 0 \\ 0 \\ x_1 \end{bmatrix}; \quad x = [x_1]$$

$$p_b = k_{b3} (\tilde{d}_3 - H_{bc}^T \Lambda^T x) \quad (5.1)$$

$$\text{pero } \Lambda H_{bc} p_b = \Lambda H_{bc} k_{b3} \tilde{d}_3 - \Lambda H_{bc} k_{b3} H_{bc}^T \Lambda^T x = 0$$

$$x = (\Lambda H_{bc} k_{b3} H_{bc}^T \Lambda^T)^{-1} \Lambda H_{bc} k_{b3} \tilde{d}_3$$

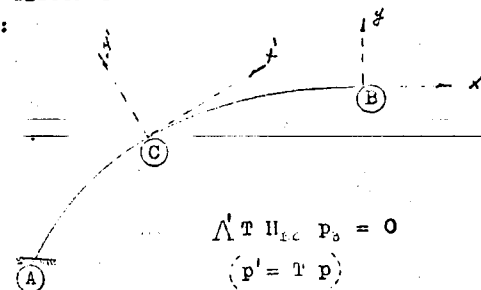
Sustituyendo en (5.1)

$$p_b = k_{b3} \left[I - H_{bc}^T \Lambda^T (\Lambda H_{bc} k_{b3} H_{bc}^T \Lambda^T)^{-1} \Lambda H_{bc} k_{b3} \right] \tilde{d}_3$$

Por consiguiente:

$$\tilde{k}_{23} = k_{b3} [I - A] \quad A = H_{bc}^T \Lambda^T (\Lambda H_{bc} k_{b3} H_{bc}^T \Lambda^T)^{-1} \Lambda H_{bc} k_{b3}$$

Nota: Si la discontinuidad en C esta referida a un sistema x', y' , se tiene:

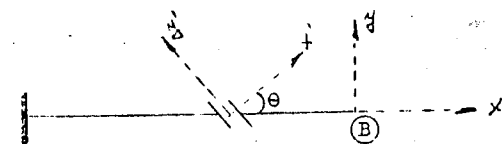


$$\Lambda'^T H_{bc} p_b = 0$$
$$(p' = T p)$$

En este caso:

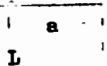
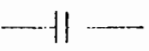
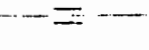
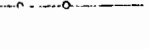
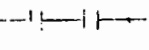
$$A = H_{bc}^T -T'^T \Lambda'^T (\Lambda'^T H_{bc} k_{b3} H_{bc}^T \Lambda'^T)^{-1} \Lambda'^T H_{bc} k_{b3}$$

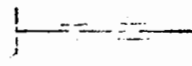
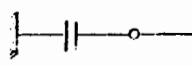
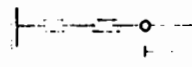
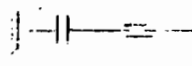
Ejemplo:



$$\Lambda' = \begin{bmatrix} 0 & 1 & 0 \end{bmatrix}$$

Rigideces de miembros rectos de sección uniforme con discontinuidad

Discontinuidad	\tilde{k}_{33}
	$\begin{bmatrix} \frac{EA}{L} & 0 & 0 \\ 0 & \frac{3EI}{L^3(1+\alpha)} & -\frac{3EI}{L^2(1+\alpha)} \\ 0 & -\frac{3EI}{L^3(1+\alpha)} & \frac{3EI}{L^2(1+\alpha)} \end{bmatrix}$ $\alpha = a/L$ $f(\alpha) = 1 + \alpha - 3\alpha^2 + 3\alpha^3$
	$\begin{bmatrix} \frac{EA}{L} & 0 & 0 \\ 0 & 0 & 0 \\ 0 & 0 & \frac{EI}{L} \end{bmatrix} = \tilde{k}_{AA}$
	$\begin{bmatrix} 0 & 0 & 0 \\ 0 & \frac{12EI}{L^3(1+4c)} & -\frac{6EI}{L^2(1+4c)} \\ 0 & -\frac{6EI}{L^2(1+4c)} & \frac{4EI(1+c)}{L(1+4c)} \end{bmatrix}$
	$\begin{bmatrix} \frac{EA}{L} & 0 & 0 \\ 0 & 0 & 0 \\ 0 & 0 & 0 \end{bmatrix} = \tilde{k}_{AA}$
	$\begin{bmatrix} \frac{EA}{L} & 0 & 0 \\ 0 & 0 & 0 \\ 0 & 0 & \frac{EI}{L} \end{bmatrix} = \tilde{k}_{AA}$

Discontinuidad	k_{33}
	IGUAL CASO (3)
	$\begin{bmatrix} \frac{EA}{L} & 0 & 0 \\ 0 & 0 & 0 \\ 0 & 0 & 0 \end{bmatrix} = \tilde{k}_{AA}$
	$\begin{bmatrix} 0 & 0 & 0 \\ 0 & 0 & 0 \\ 0 & 0 & 0 \end{bmatrix}$ <p>CASO (1)</p>
	$\begin{bmatrix} 0 & 0 & 0 \\ 0 & 0 & 0 \\ 0 & 0 & \frac{EI}{L} \end{bmatrix} = \tilde{k}_{AA}$

APENDICE

I.- Demostración de que \tilde{k}_{33} es singular

Se sabe que: $\tilde{k}_{33} = k_{33}(I-A)$

Observe que:

$$A \cdot A = H_{cc}^T \Delta (\Delta H_{2c} k_{33} H_{cc}^T \Delta^T)^{-1} \Delta H_{2c} k_{33} H_{cc}^T \Delta ()^{-1} \Delta H_{2c} k_{33}$$

$$A \cdot A = A$$

Premultipliquemos por A

$$A^{-1} A A = A^{-1} A$$

$$\therefore A = I$$

- a).- Si A no es la identidad A^{-1} no existe pues su existencia contradice el hecho de que $A \neq I$, por lo tanto A es singular.
- b).- A es la identidad. (no singular)
- Si usamos la alternativa (a)

$$B = [I - A] \neq 0$$

$$\text{pero: } B B = [I - A][I - A] = I - 2A + A^2$$

$$= I - 2A + A = I - A = B$$

Por consiguiente para [B] se tienen las siguientes alternativas

- c).- [B] no es la identidad por lo tanto es singular y también k_{BB}
- d).- [B] es la identidad, lo que es imposible porque sería el caso de que no hubiera discontinuidad

$$k_{BB} = \tilde{k}_{BB}$$

Si usamos la alternativa (b)

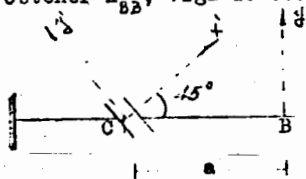
$$A = I \therefore I - A = 0 \therefore \tilde{k}_{BB} = 0 *$$

\tilde{k}_{BB} evidentemente que será singular.

Caso de que la discontinuidad sea total $\Lambda = I$.

Ejemplos:

I.- Obtener k_{BB} , viga de sección uniforme:



$$\theta = +45^\circ$$

$$H_{2c} = \begin{bmatrix} 1 & 0 & 0 \\ 0 & 1 & 0 \\ 0 & a & 1 \end{bmatrix} \quad T = \begin{bmatrix} 1/\sqrt{2} & +1/\sqrt{2} & 0 \\ -1/\sqrt{2} & 1/\sqrt{2} & 0 \\ 0 & 0 & 1 \end{bmatrix}$$

$$\Lambda^{-1} = \begin{bmatrix} 0 & 1 & 0 \end{bmatrix} \quad \Lambda^{-1} T = \begin{bmatrix} -1/\sqrt{2} & 1/\sqrt{2} & 0 \end{bmatrix}$$

$$\Lambda^{-1} T H_{2c} = \begin{bmatrix} -1/\sqrt{2} & +1/\sqrt{2} & 0 \end{bmatrix}$$

$$\Lambda^{-1} T H_{2c} k_{BB} = \begin{bmatrix} -1/\sqrt{2} & +1/\sqrt{2} & 0 \end{bmatrix} \begin{bmatrix} \frac{EA}{L} & 0 & 0 \\ 0 & \frac{12EI}{L^3(1+4c)} & \frac{-6EI}{L(1+4c)} \\ 0 & 0 & \frac{4EI(1+c)}{L(1+4c)} \end{bmatrix}$$

$$= \begin{bmatrix} \frac{-EA}{\sqrt{2}L} & \frac{+12EI}{\sqrt{2}L^3(1+4c)} & \frac{-6EI}{\sqrt{2}L^2(1+4c)} \end{bmatrix}$$

$$\Lambda^{-1} T H_{2c} k_{BB} (\Lambda^{-1} T H_{2c})^T = \left(\frac{EA}{2L} + \frac{6EI}{L^3(1+4c)} \right)$$

$$\left(\quad \right)^{-1} = \frac{1}{\frac{EA}{2L} + \frac{6EI}{L^3(1+4c)}}$$

$$\left(\quad \right)^{-1} \Lambda^{-1} T H_{2c} k_{BB} = \left(\quad \right)^{-1} \begin{bmatrix} \frac{-EA}{\sqrt{2}L} & \frac{+12EI}{\sqrt{2}L^3(1+4c)} & \frac{-6EI}{\sqrt{2}L^2(1+4c)} \end{bmatrix}$$

$$\left(\Lambda^{-1} T H_{2c} \right)^T \left(\quad \right)^{-1} \Lambda^{-1} T H_{2c} k_{BB} = A$$

(47)

$$A = \begin{bmatrix} \frac{+EA}{2L} & \frac{-6EI}{L^3(1+4c)} & \frac{+3EI}{L(1+4c)} \\ \frac{-EA}{2L} & \frac{+6EI}{L^3(1+4c)} & \frac{-3EI}{L(1+4c)} \\ 0 & 0 & 0 \end{bmatrix}$$

$$= \begin{bmatrix} \frac{6EI}{L^3(1+4c)} & \frac{+6EI}{L^3(1+4c)} & \frac{-3EI}{L^2(1+4c)} \\ \frac{+EA}{2L} & \frac{EA}{2L} & \frac{+3EI}{L^2(1+4c)} \\ 0 & 0 & \frac{EA + 6EI}{2L L^3(1+4c)} \end{bmatrix} \times \frac{1}{\frac{EA}{2L} + \frac{6EI}{L^3(1+4c)}}$$

$$-A = \begin{bmatrix} \frac{6EI}{L(1+4c)} & \frac{EA}{L} & \frac{+6EI}{L(1+4c)} & \frac{EA}{L} & \frac{-3EI}{L(1+4c)} & \frac{EA}{L} \\ \frac{6EI}{L(1+4c)} & \frac{EA}{L} & \frac{36EI}{L(1+4c)} & \frac{-6EI}{L(1+4c)} & \frac{EA}{2L} & \frac{+6EI}{L(1+4c)} \\ \text{simétrico} & & \frac{-18EI}{L(1+4c)} & \frac{+4EI(1+c)}{L(1+4c)} & \frac{EA}{2L} & \frac{+6EI}{L(1+4c)} \end{bmatrix} \times \frac{1}{\frac{EA}{2L} + \frac{6EI}{L^3(1+4c)}}$$

$$\times \frac{1}{\frac{EA}{2L} + \frac{6EI}{L^3(1+4c)}}$$

La expresión de k para
Se puede simplificar:



$$= \begin{bmatrix} \frac{12EI}{L^3(1+\beta)} & \frac{+12EI}{L^2(1+\beta)} & \frac{-6EI}{L^2(1+\beta)} \\ \frac{+12EI}{L^3(1+\beta)} & \frac{12EI}{L^3(1+\beta)} & \frac{-6EI}{L^2(1+\beta)} \\ \frac{-6EI}{L^2(1+\beta)} & \frac{-6EI}{L^2(1+\beta)} & \frac{EI}{L} \left\{ 4(1+c) - \frac{3\beta}{1+\beta} \right\} \end{bmatrix} \frac{1}{(1+4c)}$$

(48)

donde:

$$\beta = \frac{12}{(1+4c)} \left(\frac{\rho}{L} \right)^2 ; \quad \rho = \sqrt{\frac{I}{A}}$$

Observese que si se desprecia el efecto de fuerza normal ($A = \infty$),
se tiene:

$$\rho = 0 ; \quad \beta = 0$$

Si también se desprecia el efecto de la fuerza cortante: $c = 0$
Se obtiene:

$$k_{33} = \frac{EI}{L} \begin{bmatrix} \frac{12}{L^2} & \frac{12}{L^2} & \frac{-6}{L} \\ \frac{12}{L^2} & \frac{12}{L^2} & \frac{-6}{L} \\ \frac{-6}{L} & \frac{-6}{L} & 4 \end{bmatrix}$$

ANALISIS

ESTRUCTURAL II

RESUMEN 6

Re
I.

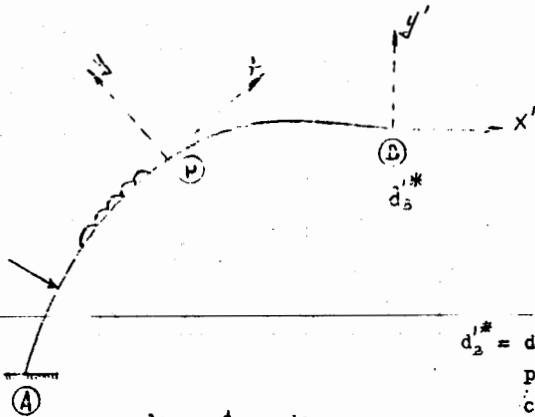
P_r

P_r

φ

Resumen (6)

I.- Desplazamientos producidos por cargas intermedias.



d_B^{i*} = desplazamiento en B producido por las cargas intermedias -- considerando empotrado a A

$$de = \phi p_p ds$$

$$d d_B^{i*} = H_{BP}^T T \phi p_p ds ; p_p = T^T p_p^i$$

$$d_B^{i*} = \int_L H_{BP}^T T \phi T^T p_p ds \quad (6.1)$$

p_p^i = elementos mecánicos en P referidos a coordenadas globales

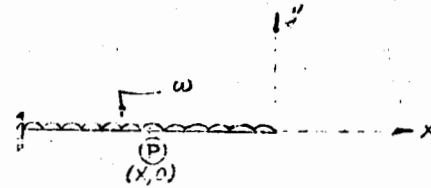
$$d_B^{i*} = \int_L H_{BP}^T T \phi p_p ds \quad (6.2)$$

p_p = elementos mecánicos en P referidos a coordenadas locales

$$\phi = \begin{bmatrix} \frac{1}{EA} \\ \frac{1}{GA_c} \\ \frac{1}{EI} \end{bmatrix} ; H_{BP}^T = \begin{bmatrix} 1 & 0 & (y_p' - y_B') \\ 0 & 1 & -(x_p' - x_B') \\ 0 & 0 & 1 \end{bmatrix}$$

Ejemplos:

(1)



$$H_{BP}^{i*T} = H_{BP}^T = \begin{bmatrix} 1 & 0 & 0 \\ 0 & 1 & -x \\ 0 & 0 & 1 \end{bmatrix} ; d_B^* = \int_{x=-L}^{x=0} H_{BP}^T \phi p_p ds$$

$$ds = dx$$

$$T = I$$

$$p_p = p_p^i = \begin{bmatrix} 0 \\ wx \\ \frac{-wx^2}{2} \end{bmatrix}$$

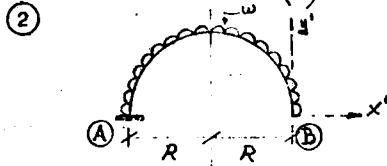
$$H_{BP}^T \phi = \begin{bmatrix} \frac{1}{EA} & 0 & 0 \\ 0 & \frac{1}{GA_c} & \frac{-x}{EI} \\ 0 & 0 & \frac{1}{EI} \end{bmatrix} ; H_{BP}^T \phi p_p = \begin{bmatrix} 0 \\ \frac{wx}{GA_c} + \frac{wx^3}{2EI} \\ \frac{-wx^2}{2EI} \end{bmatrix}$$

$$d_B^* = d_B^{i*} = \begin{bmatrix} 0 \\ \frac{-wL^3}{2GA_c} - \frac{wL^4}{8EI} \\ \frac{-wL^3}{6EI} \end{bmatrix}$$

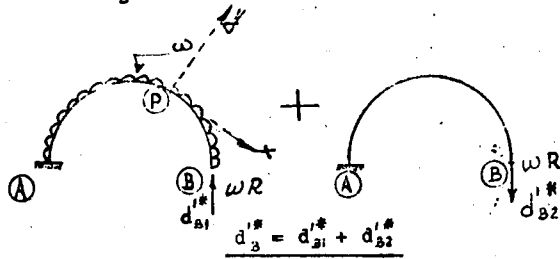
O bien:

$$d_B^* = \begin{bmatrix} 0 \\ \frac{-wL^4}{8EI} (1 + \frac{4c}{3}) \\ \frac{-wL^3}{6EI} \end{bmatrix}$$

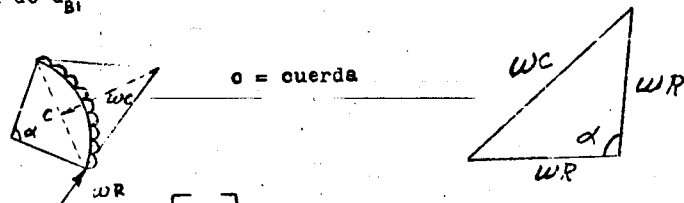
donde: $c = 6(1+\nu) \left(\frac{\rho}{L}\right)^2 k_{FORAM} = \frac{3EI}{GA_c L^2}$



Para obtener d_B^* hacemos la siguiente superposición de fuerzas:



a).- Obtención de d_{B1}^*



$$p_p = \begin{bmatrix} -wR \\ 0 \\ 0 \end{bmatrix} \quad (\text{en coordenadas locales})$$

Utilicemos la fórmula (6.2) ($ds = R d\alpha$)

$$T = \begin{bmatrix} \text{sen } \alpha & \text{cos } \alpha & 0 \\ -\text{cos } \alpha & \text{sen } \alpha & 0 \\ 0 & 0 & 1 \end{bmatrix}; \quad H_{BP}^T = \begin{bmatrix} 1 & 0 & R \text{sen } \alpha \\ 0 & 1 & R(1 - \text{cos } \alpha) \\ 0 & 0 & 1 \end{bmatrix}$$

$$H_{BP}^T T = \begin{bmatrix} s & c & R \text{sen } \alpha \\ -c & s & R(1 - \text{cos } \alpha) \\ 0 & 0 & 1 \end{bmatrix}$$

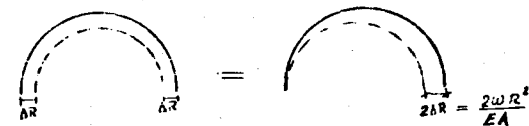
$$H_{BP}^T T \phi = \begin{bmatrix} \frac{s}{EA} & \frac{c}{GA_c} & \frac{R s}{EI} \\ -\frac{c}{EA} & \frac{s}{GA_c} & \frac{R(1-c)}{EI} \\ 0 & 0 & \frac{1}{EI} \end{bmatrix}$$

$$H T p = \begin{bmatrix} -\frac{wR \text{sen } \alpha}{EA} \\ -\frac{wR \text{cos } \alpha}{EA} \\ 0 \end{bmatrix}$$

$$d_{B1}^* = \int_0^\pi H_{BP}^T T \phi p_p ds$$

$$d_{B1}^* = \begin{bmatrix} -\frac{2wR^2}{EA} \\ 0 \\ 0 \end{bmatrix}$$

Nota: Este resultado es obvio porque el arco está trabajando a solo fuerza normal, por consiguiente solo sufrirá un acortamiento su radio, igual a: $\frac{wR}{EA} \cdot R = \frac{wR^2}{EA} = \Delta R$



h).- Obtención de $d_{2,2}^*$

$$d_{2,2}^* = \begin{bmatrix} f_{2,2} \end{bmatrix} = \begin{bmatrix} 0 \\ -\omega R \\ 0 \end{bmatrix}$$

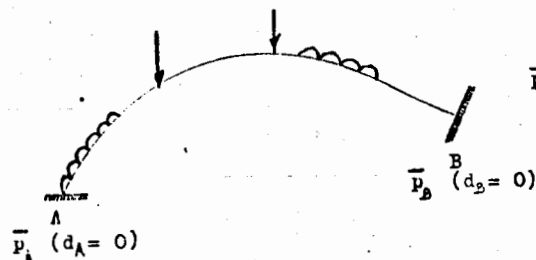
Utilizemos el valor de $f_{2,2}$

$$d_{2,2}^* = \begin{bmatrix} -\frac{2\omega R^4}{EI} \\ -\frac{\pi\omega R^2}{2} \left(\frac{1}{EA} + \frac{1}{GA_c} + \frac{3R^2}{EI} \right) \\ -\frac{\pi\omega R^3}{EI} \end{bmatrix}$$

Por consiguiente:

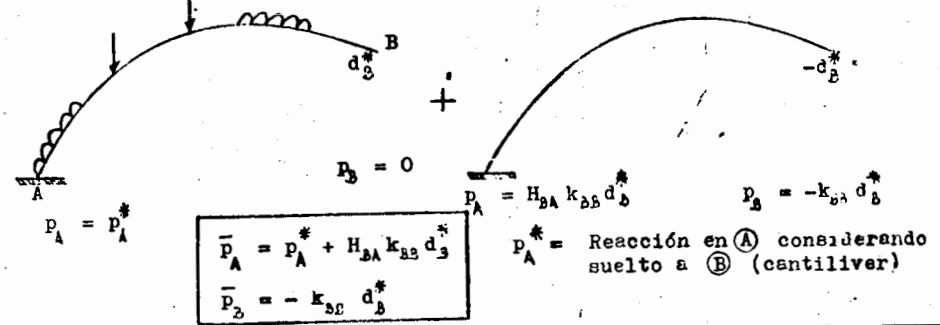
$$d_B^* = \begin{bmatrix} -\frac{2\omega R^2}{EA} - \frac{2\omega R^4}{EI} \\ -\frac{\pi\omega R^2}{2} \left(\frac{1}{EA} + \frac{1}{GA_c} + \frac{3R^2}{EI} \right) \\ -\frac{\pi\omega R^3}{EI} \end{bmatrix}$$

II.- Fuerzas de fijación

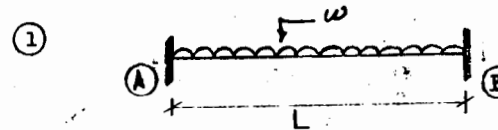


\bar{P}_A, \bar{P}_B = reacciones en (A) y (B), considerando empotrados a (A) y (B)

Para obtener \bar{P}_A y \bar{P}_B usemos la siguiente superposición:



Ejemplos:



Usando los resultados de los ejemplos anteriores

$$d_A^* = \begin{bmatrix} 0 \\ -\frac{\omega L^4}{8EI} (1 + \frac{4}{3}c) \\ -\frac{\omega L^3}{6EI} \end{bmatrix}$$

$$k_{AB} = \begin{bmatrix} EA & 0 & 0 \\ L & & \\ 0 & \frac{12EI}{L^3(1+4c)} & -\frac{6EI}{L^2(1+4c)} \\ 0 & -\frac{6EI}{L^2(1+4c)} & \frac{4EI(1+c)}{L(1+4c)} \end{bmatrix}$$

$$k_{BB} d_B^* = \begin{bmatrix} 0 \\ -\frac{3}{2} \omega L \left(\frac{1+4c/3}{1+4c} \right) + \frac{\omega L}{(1+4c)} \\ + \frac{3}{4} \omega L^2 \left(\frac{1+4c/3}{1+4c} \right) - \frac{2}{3} L \left(\frac{1+c}{1+4c} \right) \end{bmatrix}$$

Simplificando:

$$k_{BB} d_B^* = \begin{bmatrix} 0 \\ -\frac{\omega L}{2} \\ +\frac{\omega L^2}{12} \end{bmatrix}$$

Por estática, se tiene:

$$P_A^* = \begin{bmatrix} 0 \\ \omega L \\ +\frac{\omega L^2}{2} \end{bmatrix}$$

Obtengamos H_{BA} k_{BB} d_B^*

$$H_{BA} = \begin{bmatrix} 1 & 0 & 0 \\ 0 & 1 & 0 \\ 0 & L & 1 \end{bmatrix}$$

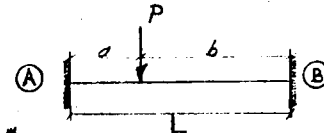
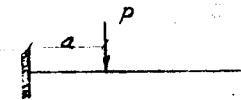
$$H_{BA} k_{BB} d_B^* = \begin{bmatrix} 0 \\ -\frac{\omega L}{2} \\ -\frac{5}{12} \omega L^2 \end{bmatrix}$$

$$\bar{P}_A = \begin{bmatrix} 0 \\ +\frac{\omega L}{2} \\ +\frac{\omega L^2}{12} \end{bmatrix}; \quad \bar{P}_B = \begin{bmatrix} 0 \\ +\frac{\omega L}{2} \\ -\frac{\omega L^2}{12} \end{bmatrix}$$

Resultado que es interesante, porque no se ve afectado por el trabajo de la fuerza cortante, lo cual es evidente porque el diagrama de T es antisimétrico y se anula al ser integrado.



②

a).- Obtengamos d_B^* Utilizemos las ecuaciones del trabajo virtual, obtención de d_B^*

$$\frac{M}{EI} = \frac{-Pa}{EI} \quad m = \frac{1}{L} \quad \begin{matrix} a \\ b \end{matrix}$$

$$\int \frac{Mm}{EI} ds = \frac{1}{6} a \left(\frac{-Pa}{EI} \right) (2L + b) \\ = -\frac{Pa^2}{6EI} (2L + b)$$

$$\frac{I}{9Ac} + \frac{P}{9Ac} \quad \begin{matrix} a \\ b \end{matrix} \quad t = \boxed{-1}$$

$$\int \frac{Tt}{GA_c} = -\frac{Pa}{GA_c}$$

$$d_{by}^* = \frac{-Pa^2}{6EI} (2L+b) - \frac{Pa}{GA_c}$$

Simplificando:

$$d_{by}^* = \frac{-Pa^2}{6EI} [2L(1+cL/a)+b]$$

$$c = \frac{JFI}{GA_c L^2}$$

Obtención de d_{bz}^* ($= \theta_{bz}^*$)

m =

$$\boxed{+1}$$

z = 0

$$\int \frac{Mm}{EI} ds = -\frac{Pa^2}{2EI}$$

$$d_{bz}^* = \frac{-Pa^2}{2EI}$$

$$d_s^* = \begin{bmatrix} 0 & \\ -\frac{Pa^2}{6EI} & 2L(1+cL/a)+b \\ & -\frac{Pa^2}{2EI} \end{bmatrix}$$

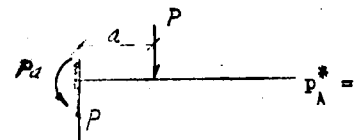
b).- Obtengamos $k_{33} d_3^*$ (simplificando)

$$k_{33} d_3^* = \begin{bmatrix} 0 & \\ -\frac{Pa}{L(1+4c)} & \left[\frac{1+4c+ab-b^2}{L^2} \right] \\ +\frac{Pa^2 b}{L^2(1+4c)} & \left[1+2cL/a \right] \end{bmatrix}$$

c).- Obtengamos $H_{2A} k_{23} d_3^*$

$$H_{2A} k_{23} d_3^* = \begin{bmatrix} 0 & \\ -\frac{Pa}{L(1+4c)} & \left[\frac{1+4c+ab-b^2}{L^2} \right] \\ \frac{Pa b^2}{L^2(1+4c)} & \left[\frac{1+2cL-L^2}{b^2} (1+4c) \right] \end{bmatrix}$$

d).- Por estática



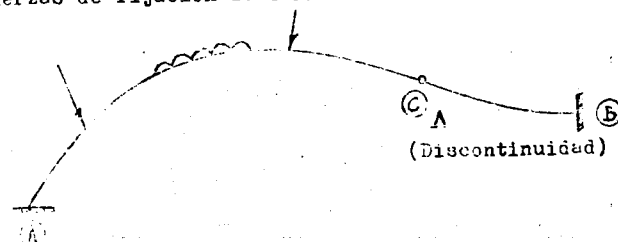
$$P_A^* = \begin{bmatrix} 0 \\ +P \\ +Pa \end{bmatrix}$$

$$\bar{P}_A = \begin{bmatrix} 0 & \\ \frac{Pb}{L(1+4c)} & \left[\frac{1+4c+ab-a^2}{L^2} \right] \\ +\frac{Pab^2}{L^2(1+4c)} & \left[\frac{1+2cL}{b} \right] \end{bmatrix}; \bar{P}_b = \begin{bmatrix} 0 & \\ \frac{Pa}{L(1+4c)} & \left[\frac{1+4c+ab-b^2}{L^2} \right] \\ -\frac{Pa^2 b}{L^2(1+4c)} & \left[\frac{1+2cL}{a} \right] \end{bmatrix}$$

Nota: Obsérvese que cuando $a = b = L/2$
(Diagrama de T antisimétrico)

$$\bar{P}_A = \begin{bmatrix} 0 \\ +\frac{P}{2} \\ +\frac{PL}{8} \end{bmatrix}; \bar{P}_b = \begin{bmatrix} 0 \\ +\frac{P}{2} \\ -\frac{PL}{8} \end{bmatrix}$$

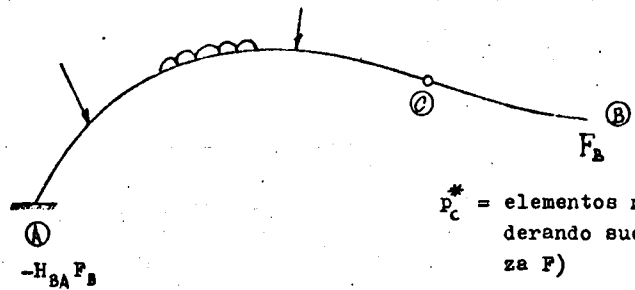
III.- Fuerzas de fijación de barras con discontinuidades.



- a).- Obtengamos d_B^* sin considerar la discontinuidad en C.
 b). Consideremos en B una fuerza F_B que cumpla con el equilibrio en C

($\Lambda p_c = 0$), o sea que:

$$\Lambda(p_c^* + H_{BC} F_B) = 0 \quad (6.3)$$



p_c^* = elementos mecánicos en C considerando suelto a B (sin la fuerza F)

La fuerza F_B no está determinada por (6.3), hay muchos valores que la satisfacen, por ejemplo:

$$F_B = -H_{CB} \Lambda^T \Lambda p_c^* \quad (6.4)$$

En efecto, sustituyendo en (6.3)

$$\begin{aligned} \Lambda(I - H_{BC} H_{CB} \Lambda^T \Lambda) p_c^* &= \\ &= (\Lambda - \Lambda \Lambda^T \Lambda) p_c^* = 0 \end{aligned}$$

Porque: $\Lambda \Lambda^T \Lambda = \Lambda$

La fuerza F_B , produce en B un desplazamiento $f_{BB} F_B$, por lo que el desplazamiento total en B será:

$$\tilde{d}_B^* = d_B^* + f_{BB} F_B$$

- o).- Obtención de p_B :

\tilde{k}_{BB} = rigidez modificada en B.

$$\bar{p}_B = -\tilde{k}_{BB} \tilde{d}_B^* + F_B$$

$$p_B = -\tilde{k}_{BB} \tilde{d}_B^* - \tilde{k}_{BB} f_{BB} F_B + F_B$$

$$\boxed{\bar{p}_B = -\tilde{k}_{BB} \tilde{d}_B^* + (I - \tilde{k}_{BB} f_{BB}) F_B} \quad (6.5)$$

O bien sustituyendo a (6.4) en (6.5)

$$\bar{p}_B = -\tilde{k}_{BB} \tilde{d}_B^* - (I - \tilde{k}_{BB} f_{BB}) H_{CB} \Lambda^T \Lambda p_c^* \quad (6.6)$$

Recordando que:

$$\tilde{k}_{BB} = k_{BB} [I - A] = [I - D] k_{BB}$$

donde:

$$A = H_{BC}^T \Lambda^T (\Lambda H_{BC} k_{BB} H_{BC} \Lambda^T)^{-1} \Lambda H_{BC} k_{BB}$$

$$D = k_{BB} H_{BC}^T \Lambda^T (\Lambda H_{BC} k_{BB} H_{BC} \Lambda^T)^{-1} \Lambda H_{BC}$$

(Ver resumen (5))

y sustituyendo en (6.6) y simplificando

$$\bar{p}_B = -k_{BB} [(I - A) \tilde{d}_B^* + H_{BC}^T \Lambda^T (\Lambda H_{BC} k_{BB} H_{BC} \Lambda^T)^{-1} \Lambda p_c^*] \quad (6.7)$$

- d).- Por estática:

$$\bar{p}_A = p_A^* - H_{BA} \bar{p}_B \quad (6.8)$$

Sustituyendo (6.6) en (6.8)

$$\bar{P}_A = P_A^* + H_{BA} \left[\tilde{k}_{cB} d_B^* + (I - \tilde{k}_{BB} f_{BB}) H_{cB} \Lambda^T \Lambda P_C^* \right]$$

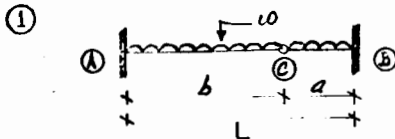
(6.9) d.- Apliquemos la ecuación (6.6) para obtener \bar{P}_B :

O sustituyendo (6.7) en (6.8)

$$\bar{P}_A = P_A^* + H_{BA} k_{BB} \left[(I - A) d_B^* + H_{BC}^T \Lambda^T (\Lambda H_{BC} k_{BB} H_{BC} \Lambda^T)^{-1} \Lambda P_C^* \right] \quad (6.10)$$

$$-\tilde{k}_{BB} d_B^* = \begin{bmatrix} 0 \\ \frac{\omega L}{8\psi(\alpha)} \left[\begin{matrix} 3+4c-4a \\ L \end{matrix} \right] \\ -\frac{\omega a L}{8\psi(\alpha)} \left[\begin{matrix} 3+4c-4a \\ L \end{matrix} \right] \end{bmatrix}$$

Ejemplos:



$$\Lambda = \begin{bmatrix} 0 & 0 & 1 \end{bmatrix}$$

$$f_{BB} = \begin{bmatrix} \frac{L}{EA} & 0 & 0 \\ 0 & \frac{L^3}{3EI} (1+c) & \frac{L^2}{2EI} \\ 0 & \frac{L^2}{2EI} & \frac{L}{EI} \end{bmatrix}$$

a.- Obtención de d_B^* (ejemplo anterior)

$$d_B^* = \begin{bmatrix} 0 \\ -\frac{\omega L^4}{8EI} (1+4c/3) \\ -\frac{\omega L^3}{6EI} \end{bmatrix}$$

$$\tilde{k}_{BB} f_{BB} = \begin{bmatrix} 1 & 0 & 0 \\ 0 & \frac{(1+c-3a)}{\psi(\alpha)} & \frac{3}{2L\psi(\alpha)} (1-2a) \\ 0 & \frac{-a}{\psi(\alpha)} (1+c-\frac{3a}{2L}) & \frac{-3a}{2L\psi(\alpha)} (1-2a) \end{bmatrix}$$

b.- Obtención de \tilde{k}_{BB} (Tabla en el resumen (5))

$$\tilde{k}_{BB} = \begin{bmatrix} \frac{EA}{L} & 0 & 0 \\ 0 & \frac{3EI}{L^3\psi(\alpha)} & -\frac{3EI\alpha}{L^2\psi(\alpha)} \\ 0 & -\frac{3EI\alpha}{L^2\psi(\alpha)} & \frac{3EI\alpha^2}{L\psi(\alpha)} \end{bmatrix}; \quad \alpha = a/L$$

$$I - \tilde{k}_{BB} f_{BB} = \begin{bmatrix} 0 & 0 & 0 \\ 0 & \frac{-3a}{2L\psi(\alpha)} (1-2a) & \frac{-3}{2L\psi(\alpha)} (1-2a) \\ 0 & \frac{a}{\psi(\alpha)} (1+c-\frac{3a}{2L}) & \frac{1}{\psi(\alpha)} (1+c-\frac{3a}{2L}) \end{bmatrix}$$

$$\psi'(\alpha) = 1+c-3\alpha+3\alpha^2$$

$$\Lambda^T \Lambda P_C^* = \begin{bmatrix} 0 \\ 0 \\ -\frac{\omega a^2}{2} \end{bmatrix}; \quad H_{cB} = \begin{bmatrix} 1 & 0 & 0 \\ 0 & 1 & 0 \\ 0 & -a & 1 \end{bmatrix}$$

c.- Obtención de P_A^* y P_C^* (Por estática)

$$P_A^* = \begin{bmatrix} 0 \\ \omega L \\ +\frac{\omega L^2}{2} \end{bmatrix}; \quad P_C^* = \begin{bmatrix} 0 \\ -\omega a \\ -\frac{\omega a^2}{2} \end{bmatrix}$$

$$-H_{cB} \Lambda^T \Lambda P_C^* = \begin{bmatrix} 0 \\ 0 \\ +\frac{\omega a^2}{2} \end{bmatrix} (= F_B)$$

Reacción en A

Elementos mecánicos en C

(63)

$$-(I - \tilde{k}_{AB} f_{AB}) H_{CB} \Lambda^T \Lambda p_c^* = \begin{bmatrix} 0 \\ -\frac{3\omega a^2}{4Ly(\alpha)} (1-2a) \\ \frac{\omega a^2}{2y(\alpha)} (1+c-\frac{3a}{2L}) \end{bmatrix}$$

$$\bar{p}_B = \begin{bmatrix} 0 \\ \frac{\omega L}{8y(\alpha)} [3+4c-4\alpha-6\alpha^2+12\alpha^3] \\ -\frac{\omega L^2 \alpha}{8y(\alpha)} [3+4c-4\alpha(2+c)+6\alpha^2] \end{bmatrix}$$

Obtenemos \bar{p}_A utilizando (6.8)

$$-H_{BA} \bar{p}_B = \begin{bmatrix} 0 \\ -\frac{\omega L}{8y(\alpha)} [3+4c-4\alpha-6\alpha^2+12\alpha^3] \\ -\frac{\omega L^2}{8y(\alpha)} [3+4c-\alpha(7+4c)+2(1+2c)+6\alpha^3] \end{bmatrix}$$

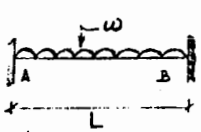
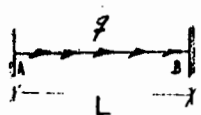
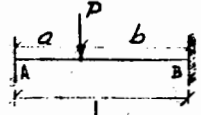
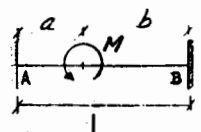
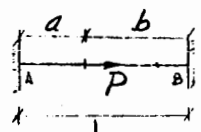
$$\bar{p}_A = \begin{bmatrix} 0 \\ \frac{\omega L}{8y(\alpha)} [5+4c-20\alpha+30\alpha^2-12\alpha^3] \\ \frac{\omega L^2}{8y(\alpha)} [1+\alpha(4c-5)+2\alpha^2(5-2c)-6\alpha^3] \end{bmatrix}$$

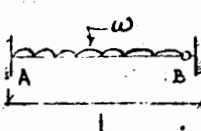
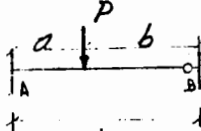
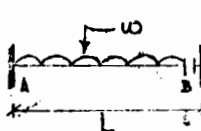
ANALISIS ESTRUCTURAL II

RESUMEN 7

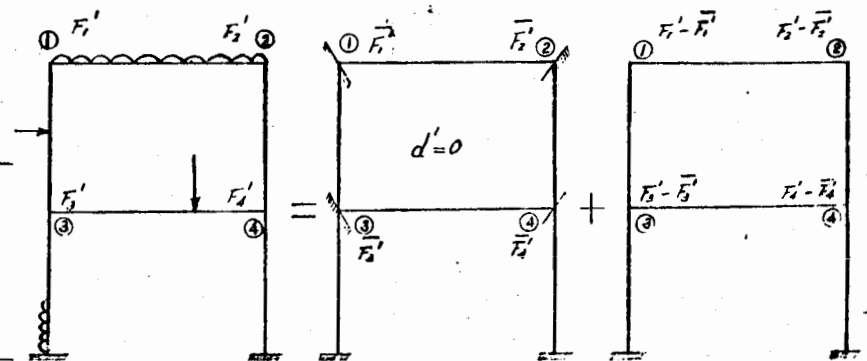
Resumen (7)

I.- Tabla de fuerzas de fijación (Barras rectas de sección cte.)

Carga	\bar{P}_A	\bar{P}_B
	$\begin{bmatrix} 0 \\ +\frac{wL}{2} \\ +\frac{wL^2}{12} \end{bmatrix}$	$\begin{bmatrix} 0 \\ +\frac{wL}{2} \\ -\frac{wL^2}{12} \end{bmatrix}$
	$\begin{bmatrix} -\frac{qL}{2} \\ 0 \\ 0 \end{bmatrix}$	$\begin{bmatrix} -\frac{qL}{2} \\ 0 \\ 0 \end{bmatrix}$
	$\begin{bmatrix} 0 \\ \frac{Pb}{L(1+4c)} \left\{ \frac{1+4c+ab-a^2}{L^2} \right\} \\ \frac{Pab^2}{L^2(1+4c)} \left\{ \frac{1+2cL}{b} \right\} \end{bmatrix}$	$\begin{bmatrix} 0 \\ \frac{Pa}{L(1+4c)} \left\{ \frac{1+4c+ab-b^2}{L^2} \right\} \\ -\frac{Pa^2b}{L^2(1+4c)} \left\{ \frac{1+2cL}{a} \right\} \end{bmatrix}$
	$\begin{bmatrix} 0 \\ \frac{6Mab}{L^3(1+4c)} \\ -\frac{Mb}{L(1+4c)} \left\{ \frac{1+4c-3a}{L} \right\} \end{bmatrix}$	$\begin{bmatrix} 0 \\ -\frac{6Mab}{L^3(1+4c)} \\ -\frac{Ma}{L(1+4c)} \left\{ \frac{1+4c-3b}{L} \right\} \end{bmatrix}$
	$\begin{bmatrix} -\frac{Pb}{L} \\ 0 \\ 0 \end{bmatrix}$	$\begin{bmatrix} -\frac{Pa}{L} \\ 0 \\ 0 \end{bmatrix}$

Carga	\bar{P}_A	\bar{P}_B
	$\begin{bmatrix} 0 \\ \frac{5wL}{8} \left(\frac{1+4c}{1+c} \right) \\ \frac{wL^2}{8(1+c)} \end{bmatrix}$	$\begin{bmatrix} 0 \\ \frac{3wL}{8} \left(\frac{1+4c}{1+c} \right) \\ 0 \end{bmatrix}$
	$\begin{bmatrix} 0 \\ \frac{Pb}{L(1+c)} \left\{ \frac{a(L+b)}{2L^2} + 1+c \right\} \\ +\frac{Pab(L+b)}{2L^2(1+c)} \end{bmatrix}$	$\begin{bmatrix} 0 \\ \frac{Pa}{L(1+c)} \left\{ \frac{a(2L+b)+c}{2L^2} \right\} \\ 0 \end{bmatrix}$
	$\begin{bmatrix} 0 \\ +\frac{wL}{3} \\ +\frac{wL^2}{3} \end{bmatrix}$	$\begin{bmatrix} 0 \\ 0 \\ +\frac{wL^2}{6} \end{bmatrix}$

II.- Fuerzas efectivas producidas por fuerzas en las barras.



\bar{F}'_d = Suma de fuerzas de fijación de las barras que concurren a (j)
(en coordenadas globales)

F'_j = Fuerzas en el nudo (j)

Los desplazamientos finales se obtendrán:

$$F' - \bar{F}' = K' d'$$

O bien:

$$F'_{ex} = K' d' \quad F'_{ex} = F' - \bar{F}'$$

La solución será:

$$d' = (K')^{-1} F'_{ex}$$

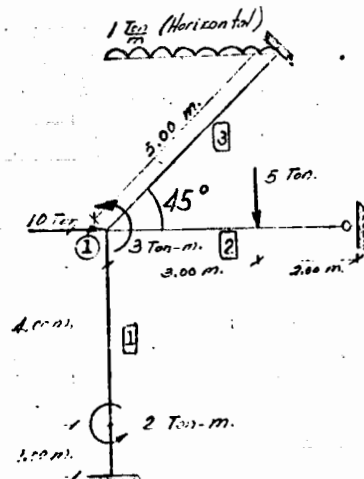
$$e = sd'$$

$$P_{B(i)} = k_{\alpha\beta(i)} e_{(i)} + \bar{P}_{B(i)}$$

$$P_{A(i)} = -H_{\beta A(i)} k_{\alpha\beta(i)} e_{(i)} + \bar{P}_{A(i)}$$

donde: $\bar{P}_{A(i)}, \bar{P}_{B(i)}$ = fuerzas de fijación en la barra (i),
en coordenadas locales.

Ejemplo: (Por simplificación consideremos una estructura de un solo nudo)



Las tres barras son de igual sección:

$$E = 2 \times 10^5 \text{ kg/cm}^2$$

$$I = 10^5 \text{ cm}^4$$

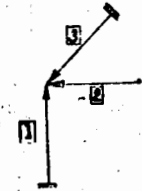
$$A = 100 \text{ cm}^2$$

$$C = 0.1$$

Por consiguiente:

$$k_{BB} = \begin{bmatrix} 4.0 & 0 & 0 \\ 0 & 0.137 & -0.343 \\ 0 & -0.343 & 1.142 \end{bmatrix} \times 10^8 \text{ (Ton, m)}$$

Orientemos las barras en la forma siguiente:

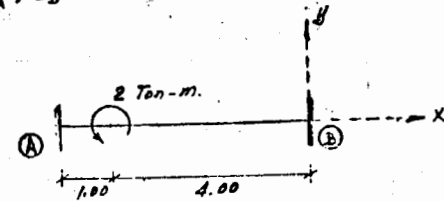


Obtengamos \tilde{k}_{BB} de la barra (2) (Tabla del resumen (5))

$$(\alpha = 1.0) \tilde{k}_{BB_2} = \begin{bmatrix} 4.0 & 0 & 0 \\ 0 & 0.044 & -0.219 \\ 0 & -0.219 & 1.093 \end{bmatrix} \times 10^8$$

a).- Obtengamos \bar{P}_A, \bar{P}_B de cada barra: (Tabla hoja (1))

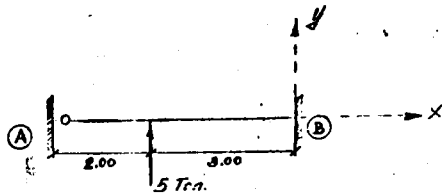
Barra 1



(68)

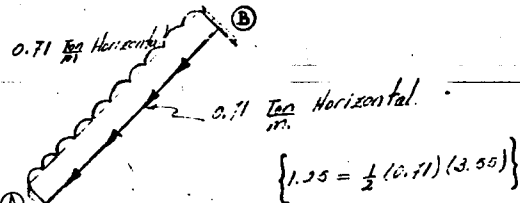
$$\bar{P}_A = \begin{bmatrix} 0 \\ 0.27 \\ -0.91 \end{bmatrix}; \quad \bar{P}_B = \begin{bmatrix} 0 \\ -0.27 \\ +0.29 \end{bmatrix}$$

Barra 2



$$\bar{P}_A = \begin{bmatrix} 0 \\ -2.24 \\ 0 \end{bmatrix}; \quad \bar{P}_B = \begin{bmatrix} 0 \\ -2.76 \\ +3.82 \end{bmatrix}$$

Barra 3

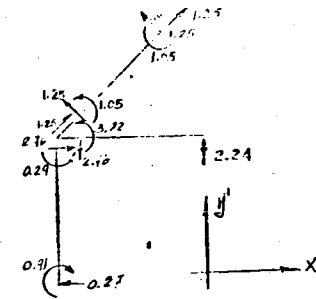


$$\bar{P}_A = \begin{bmatrix} -1.250 \\ -1.25 \\ -1.05 \end{bmatrix}; \quad \bar{P}_B = \begin{bmatrix} -1.25 \\ -1.25 \\ +1.05 \end{bmatrix}$$

Nota: $\frac{\omega L^2}{12} = \frac{\omega L}{12} \frac{L}{12} = \frac{w}{12} \frac{L}{12}$
 $\frac{L}{2} = \frac{1}{2} \omega L = \frac{1}{2} w$

(69)

En resumen:

b).- Obtengamos F' (en coordenadas globales)

$$\bar{F}' = \begin{bmatrix} +0.27 \\ +4.53 \\ +5.16 \end{bmatrix} \quad (\text{Obtenidas por estatica elemental})$$

c).- Obtengamos F'_{ex}

$$F' = \begin{bmatrix} +10 \\ 0 \\ +3 \end{bmatrix}; \quad -\bar{F}' = \begin{bmatrix} -0.27 \\ -4.53 \\ -5.16 \end{bmatrix}$$

$$F'_{ex} = \begin{bmatrix} +9.73 \\ -4.53 \\ -2.16 \end{bmatrix}$$

d).- Obtengamos $K (= a^T k a)$ (ó usando la regla la suma, que en este caso son equivalentes)

$$a = \begin{bmatrix} T_1^T \\ T_2^T \\ T_3^T \end{bmatrix}; \quad T_1 = \begin{bmatrix} 0 & -1 & 0 \\ 1 & 0 & 0 \\ 0 & 0 & 1 \end{bmatrix}; \quad T_2 = \begin{bmatrix} -1 & 0 & 0 \\ 0 & -1 & 0 \\ 0 & 0 & 1 \end{bmatrix}$$

$$T_3 = \begin{bmatrix} -0.71 & +0.71 & 0 \\ -0.71 & -0.71 & 0 \\ 0 & 0 & 1 \end{bmatrix}$$

(70)

Nota:

$$T = \begin{bmatrix} X_{x'} & Y_{x'} & 0 \\ X_{y'} & Y_{y'} & 0 \\ 0 & 0 & 1 \end{bmatrix}; \text{ donde } X, Y \text{ son vectores unitarios paralelos a los ejes } x, y.$$

$$k = \begin{bmatrix} k_{BB} & & \\ & \tilde{k}_{BB} & \\ & & k_{BB} \end{bmatrix}$$

(Ver hoja (67) para los valores de k_{BB} y \tilde{k}_{BB})
Efectuando multiplicaciones:

$$K' = \begin{bmatrix} 6.205 & 1.932 & +0.100 \\ 1.932 & 6.112 & +0.462 \\ +0.100 & 0.462 & +3.377 \end{bmatrix} \times 10^3$$

e).- Obtengamos d' , resolviendo el sistema $F'_{ox} = k'd'$

$$d' = \begin{bmatrix} 1.991 \\ -1.331 \\ -0.516 \end{bmatrix} \times 10^{-3}$$

f).- Obtengamos e ($= ad'$)

$$e = \begin{bmatrix} -1.331 \\ -1.991 \\ -0.516 \\ -1.991 \\ +1.331 \\ -0.516 \\ -0.467 \\ +2.340 \\ -0.516 \end{bmatrix} \times 10^{-3}$$

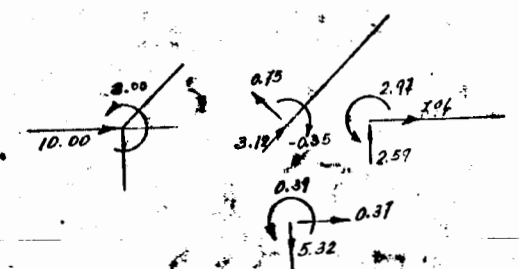
g).- Obtengamos p_B : ($p_B = ke + \bar{P}_B$)

$$p_{B1} = \begin{bmatrix} -5.324 \\ -0.097 \\ +0.095 \end{bmatrix} + \begin{bmatrix} 0 \\ -0.27 \\ +0.29 \end{bmatrix} = \begin{bmatrix} -5.324 \\ -0.367 \\ +0.385 \end{bmatrix}$$

$$p_{B2} = \begin{bmatrix} -7.964 \\ +0.172 \\ -0.855 \end{bmatrix} + \begin{bmatrix} 0 \\ -2.76 \\ +3.82 \end{bmatrix} = \begin{bmatrix} -7.964 \\ -2.588 \\ +2.965 \end{bmatrix}$$

$$p_{B3} = \begin{bmatrix} -1.868 \\ +0.497 \\ -1.398 \end{bmatrix} + \begin{bmatrix} -1.25 \\ -1.25 \\ +1.050 \end{bmatrix} = \begin{bmatrix} -3.118 \\ -0.753 \\ -0.348 \end{bmatrix}$$

Comprobación: (Equilibrio)

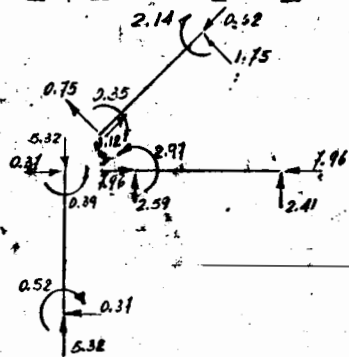


$$\begin{aligned} \sum F_x &= 10.00 \\ \sum F_y &= 0 \\ \sum M &= 3.01 \end{aligned}$$

h).- Obtengamos P_A : ($P_A = -H_{BA} ke + \bar{P}_A$)

$$H_{BA} = \begin{bmatrix} 1 & 0 & 0 \\ 0 & 1 & 0 \\ 0 & 0 & 1 \end{bmatrix} \text{ (Para todas las barras)}$$

$$\begin{aligned}
 P_{A_1} &= \begin{bmatrix} +5.324 \\ +0.097 \\ +0.390 \end{bmatrix} + \begin{bmatrix} 0 \\ +0.270 \\ -0.910 \end{bmatrix} = \begin{bmatrix} +5.324 \\ +0.367 \\ -0.520 \end{bmatrix} \\
 P_{A_2} &= \begin{bmatrix} +7.964 \\ -0.172 \\ 0 \end{bmatrix} + \begin{bmatrix} 0 \\ -2.240 \\ 0 \end{bmatrix} = \begin{bmatrix} +7.964 \\ -2.412 \\ 0 \end{bmatrix} \\
 P_{A_3} &= \begin{bmatrix} +1.868 \\ -0.497 \\ -1.087 \end{bmatrix} + \begin{bmatrix} -1.250 \\ -1.250 \\ -1.050 \end{bmatrix} = \begin{bmatrix} +0.618 \\ -1.747 \\ -2.137 \end{bmatrix}
 \end{aligned}$$



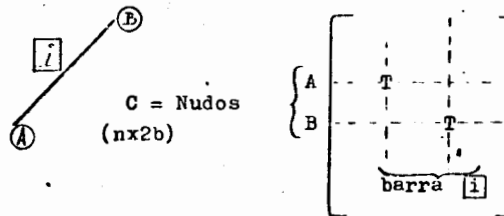
Tratamiento matricial general:

a).- $\bar{F} = C \bar{p}$

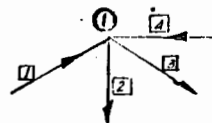
donde: $\bar{F} = \begin{bmatrix} \bar{F}_1 \\ \bar{F}_2 \\ \bar{F}_3 \\ \vdots \\ \bar{F}_n \end{bmatrix}$

$\bar{p} = \begin{bmatrix} \bar{p}_{A_1} \\ \bar{p}_{B_1} \\ \bar{p}_{A_2} \\ \bar{p}_{B_2} \\ \vdots \\ \bar{p}_{A_b} \\ \bar{p}_{B_b} \end{bmatrix}$

n = No. de nudos
 b = No. de barras



O bien la siguiente regla:



$$\bar{F}_1 = T_1 \bar{p}_{B_1} + T_2 \bar{p}_{A_2} + T_3 \bar{p}_{A_3} + T_4 \bar{p}_{B_4}$$

b).- $\tilde{p} = \bar{p} + D k e$

donde:

$$\tilde{p} = \begin{bmatrix} P_{A_1} \\ P_{B_1} \\ P_{A_2} \\ P_{B_2} \\ \vdots \\ P_{A_b} \\ P_{B_b} \end{bmatrix} \quad (\text{fuerzas finales en las barras})$$

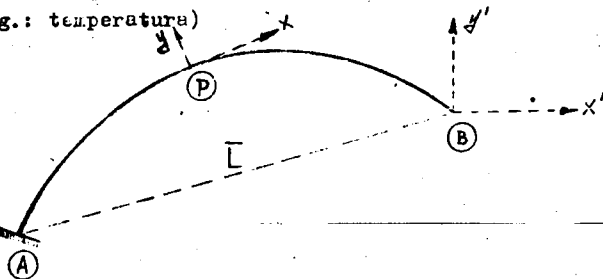
$D = \text{barra } \begin{bmatrix} A \\ B \end{bmatrix} \begin{bmatrix} 0 & 0 & -E_{BA} & 0 & 0 \\ 0 & 0 & 0 & -E & 0 \end{bmatrix}$
 (2bxb)

Ejemplo: (El ejemplo anterior)

$$C = \textcircled{1} \begin{bmatrix} 0 & T_1 & 0 & 0 & 0 & T_3 \\ \hline & [1] & & [2] & & [3] \end{bmatrix}$$

$$D = \begin{bmatrix} [1] & -H_{BA_1} & 0 & 0 \\ \hline [2] & 0 & -H_{BA_2} & 0 \\ \hline [3] & 0 & 0 & -H_{BA_3} \\ \hline & [1] & [2] & [3] \end{bmatrix}$$

III.- Desplazamientos producidos por deformaciones inducidas (v.g.: temperatura)



$\tau d'_B$ = desplazamiento en (B) producido por deformaciones inducidas (de)

$$\tau d'_B = \int_L H_{BP}^T T de$$

Si se trata de una dilatación producida por un cambio de temperatura θ

$$de = \alpha \theta ds \begin{bmatrix} 1 \\ 0 \\ 0 \end{bmatrix}$$

donde: α = coeficiente de dilatación, constante en la sección.

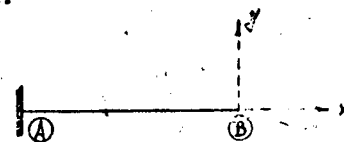
θ = incremento en temperatura, constante en la sección.

Si α y θ son constantes a lo largo de la barra

$$\tau d'_B = \alpha \theta \begin{bmatrix} L_{x'} \\ L_{y'} \\ 0 \end{bmatrix}$$

$L_{x'}, L_{y'}$ = proyecciones del vector \vec{L} (A - B), con respecto a x', y' .

Si la barra es recta:



$$\tau d'_B = \alpha \theta L \begin{bmatrix} 1 \\ 0 \\ 0 \end{bmatrix}$$

IV.- Fuerzas efectivas producidas por deformaciones inducidas.

a).- Deformaciones (e) en las barras

$$e = a d' - \tau d_B$$

b).- Fuerzas en las barras

$$p = k e$$

$$p = k a d' - k \tau d_B$$

Por equilibrio

$$F' = a^T p = a^T k a d' - a^T k \tau d_B$$

$$F' + a^T k \tau d_B = F'_{ex}$$

Si $F' = 0$, se tiene la siguiente solución:

$$\begin{cases} d' = (a^T k a)^{-1} a^T k d_B \\ e = [a (a^T k a)^{-1} a^T k - I] d_B \\ p = k [a (a^T k a)^{-1} a^T k - I] d_B \end{cases}$$

Observe que si la estructura es isostática, la matriz $[a]$ es cuadrada y no singular, por lo tanto:

$$(a^T k a)^{-1} = a^{-1} k^{-1} (a^T)^{-1}$$

$$[a (a^T k a)^{-1} a^T k - I] = 0$$

O sea que las deformaciones inducidas no causan esfuerzos en las estructuras isostáticas, aunque si producen desplazamientos.

Ejemplo: (Ejemplo hoja 66)

Supongamos: $\left\{ \begin{array}{l} \alpha = 0.000015/^\circ\text{C} \\ \theta = 20^\circ\text{C} \end{array} \right\}$ Para todas las barras

Por lo tanto: $d_B = \begin{bmatrix} 0.0015 \\ 0 \\ 0 \end{bmatrix}$ (m) (Para todas las barras)

a).- Fuerzas efectivas:

$$r d_B = \begin{bmatrix} 0.0015 \\ 0 \\ 0 \\ 0.0015 \\ 0 \\ 0 \\ 0.0015 \\ 0 \\ 0 \end{bmatrix} \quad ; \quad k r d_B = \begin{bmatrix} 6.0 \\ 0 \\ 0 \\ 6.0 \\ 0 \\ 0 \\ 6.0 \\ 0 \\ 0 \end{bmatrix}$$

$$F'_{e2} = a^T (k d_2) = \begin{bmatrix} -10.25 \\ +1.75 \\ 0 \end{bmatrix}$$

b).- Obtengamos d' ; $d' = (k')^{-1} F'_{e2}$, (ó resolviendo el sistema)

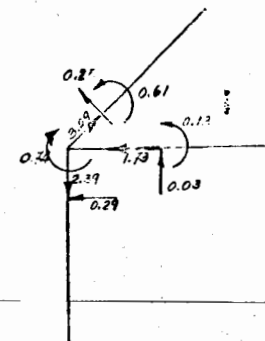
$$d' = \begin{bmatrix} -1.932 \\ +0.902 \\ -0.067 \end{bmatrix} \times 10^{-3}$$

c).- Obtengamos e ($= a d' - r d_B$)

$$e d' = \begin{bmatrix} +0.902 \\ +1.932 \\ -0.067 \\ +1.932 \\ -0.902 \\ -0.067 \\ +0.728 \\ -2.000 \\ -0.067 \end{bmatrix} \times 10^{-3} \quad e = \begin{bmatrix} -0.598 \\ +1.932 \\ -0.067 \\ +0.432 \\ -0.902 \\ -0.067 \\ -0.772 \\ -2.000 \\ -0.067 \end{bmatrix} \times 10^{-3}$$

d).- Obtengamos p ($= p_2$): ($p = k e$)

$$p = \begin{bmatrix} -2.39 \\ +0.29 \\ -0.74 \\ +1.73 \\ -0.03 \\ +0.13 \\ -3.09 \\ -0.25 \\ +0.61 \end{bmatrix}$$



Ejemplo: (Ejemplo hoja (66))

La barra **I** tiene una deformación previa (por error de fábrica) igual a

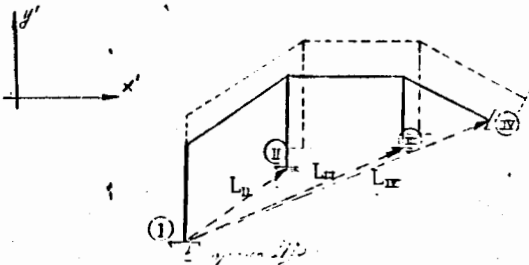
$$r_{d_{B_1}} = \begin{bmatrix} 0.001 \\ 0.001 \\ 0.0005 \end{bmatrix}$$

Obtener las fuerzas efectivas, producidas por esta deformación inducida.

$$k_{r_{d_B}} = \begin{bmatrix} +4.000 \\ -0.034 \\ +0.228 \\ 0 \\ 0 \\ 0 \\ 0 \\ 0 \\ 0 \end{bmatrix} \quad F'_{ex} = \begin{bmatrix} -0.034 \\ -4.000 \\ +0.228 \end{bmatrix}$$

V.- Simplificación de los efectos por temperatura, cuando α y θ son iguales para todas las barras.

Consideremos una estructura cualquiera con α y θ iguales para todas las barras, soltemos todos los apoyos que le impidan dilatarse libremente, sea **I** el apoyo fijo y **II**, **III** y **IV** los apoyos que se han removido.



Estructura dilatada (homóloga a la estructura original)

G-605660

Los desplazamientos de los apoyos serán:

$$r_{d_I} = 0; r_{d_{II}} = \alpha \theta \begin{bmatrix} L_{2y'} \\ L_{2z'} \\ 0 \end{bmatrix}; r_{d_{III}} = \alpha \theta \begin{bmatrix} L_{3x'} \\ L_{3y'} \\ 0 \end{bmatrix}; r_{d_{IV}} = \alpha \theta \begin{bmatrix} L_{4x'} \\ L_{4z'} \\ 0 \end{bmatrix}$$

$$\text{donde: } \begin{cases} L_{ijx'} = x'_j - x'_i \\ L_{ijy'} = y'_j - y'_i \end{cases}$$

El problema es equivalente a una estructura cuyos apoyos han sufrido desplazamientos iguales y de signo contrario a los que se obtienen al dilatarse libremente la estructura. (Ver inciso IV del Resumen (2))

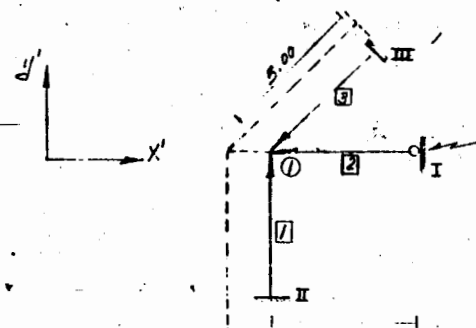
$$\{ F'_{ex} = -K_{12} d'_A \}$$

Ejemplo: (Ejemplo hoja (78))

$$\begin{cases} \alpha = 0.000015/^\circ\text{C} \\ \theta = 20^\circ\text{C} \end{cases}$$



FACULTAD DE INGENIERIA



Apoyo fijo

$$r_{d_I} = \begin{bmatrix} -5.00 \\ -5.00 \end{bmatrix}$$

$$L_{II} = \begin{bmatrix} -1.465 \\ +3.535 \end{bmatrix}$$

Obtenemos $r_{d_I}, r_{d_{II}}, r_{d_{III}}, r_{d_{IV}}$

$$r_{d_I} = 0; r_{d_{II}} = \begin{bmatrix} -0.00150 \\ -0.00150 \\ 0 \end{bmatrix};$$

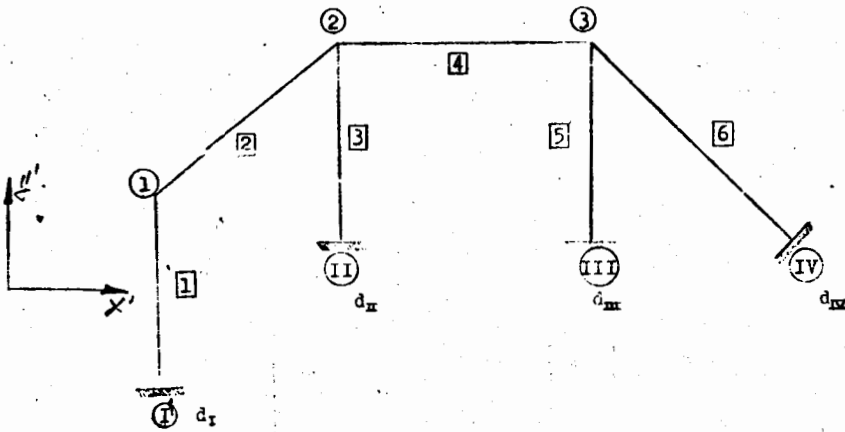
$$r_{d_{III}} = \begin{bmatrix} -0.00044 \\ +0.00106 \\ 0 \end{bmatrix}$$

Resolvamos la estructura con los siguientes desplazamientos en los apoyos:

$$d = \begin{bmatrix} 0 \\ 0 \\ 0 \\ +0.00150 \\ +0.00150 \\ 0 \\ +0.00044 \\ -0.00106 \\ 0 \end{bmatrix} \begin{matrix} \text{I} \\ \text{II} \\ \text{III} \end{matrix}$$

Nota:

Para la obtención de las fuerzas en los apoyos efectivas, producidas por desplazamientos, no es necesario usar el procedimiento indicado en el inciso IV del Resumen (2), que consistía en considerar a los apoyos como nudos; basta con obtener las fuerzas de fijación en las barras vecinas a los apoyos, producidas por los desplazamientos de estos, a continuación damos un ejemplo.



Las fuerzas de fijación en las barras 1, 3, 5 y 6 serán:

$$\begin{aligned} \text{Barra 1} \quad \begin{cases} \bar{P}_{A_1} = k_{AA} d_{II} \\ \bar{P}_{B_1} = k_{BA} d_{II} \end{cases} & \quad \text{Barra 3} \quad \begin{cases} \bar{P}_{A_3} = k_{AA} d_{III} \\ \bar{P}_{B_3} = k_{BA} d_{III} \end{cases} \\ \text{Barra 5} \quad \begin{cases} \bar{P}_{A_5} = k_{AA} d_{IV} \\ \bar{P}_{B_5} = k_{BA} d_{IV} \end{cases} & \quad \text{Barra 6} \quad \begin{cases} \bar{P}_{A_6} = k_{AA} d_{IV} \\ \bar{P}_{B_6} = k_{BA} d_{IV} \end{cases} \end{aligned}$$

$d_I, d_{II}, d_{III}, d_{IV}$, en coordenadas locales, esto es:

$$\begin{aligned} d_I &= T_1^T d'_I; & d_{II} &= T_2^T d'_{II} \\ d_{III} &= T_3^T d'_{III}; & d_{IV} &= T_6^T d'_{IV} \end{aligned}$$

Por lo tanto las fuerzas efectivas (F'_{EX}) en los nudos 1, 2 y 3, serán:

$$F'_{EX} = \begin{bmatrix} -T_1 \bar{P}_{B_1} \\ -T_3 \bar{P}_{B_3} \\ -T_5 \bar{P}_{A_5} - T_6 \bar{P}_{B_6} \end{bmatrix} \begin{matrix} \text{1} \\ \text{2} \\ \text{3} \end{matrix}$$

Aplicaremos este procedimiento a nuestro ejemplo.

a).- Obtención de d_{II} d_{III}

$$\begin{aligned} d_{II} &= T_2^T d'_{II} = \begin{bmatrix} +0.00150 \\ -0.00150 \\ 0 \end{bmatrix} \\ d_{III} &= T_3^T d'_{III} = \begin{bmatrix} +0.000438 \\ +0.001060 \\ 0 \end{bmatrix} \end{aligned}$$

a).- Fuerzas de fijación en los nudos ① y ②

$$\text{Barros } \begin{cases} \text{① } \text{②} \\ k_{21} = -k_{12}^T = \begin{bmatrix} -4.00 & 0 & 0 \\ 0 & -0.137 & -0.343 \\ 0 & +0.343 & +0.973 \end{bmatrix} \times 10^3 \\ k_{11} = k_{22} + k_{12}^T = \begin{bmatrix} 4.00 & 0 & 0 \\ 0 & 0.137 & +0.343 \\ 0 & +0.343 & 1.142 \end{bmatrix} \times 10^3 \end{cases}$$

$$\text{Barra } \text{①} \left\{ \begin{aligned} \bar{P}_1 = k_{11} d_1 &= \begin{bmatrix} +6.000 \\ -0.205 \\ -0.514 \end{bmatrix} ; \bar{P}_2 = k_{12} d_2 = \begin{bmatrix} -6.00 \\ +0.205 \\ -0.514 \end{bmatrix} \end{aligned} \right.$$

$$\text{Barra } \text{②} \left\{ \begin{aligned} \bar{P}_3 = k_{21} d_1 &= \begin{bmatrix} +1.752 \\ +0.145 \\ +0.365 \end{bmatrix} ; \bar{P}_4 = k_{22} d_2 = \begin{bmatrix} -1.752 \\ -0.145 \\ +0.365 \end{bmatrix} \end{aligned} \right.$$

c).- Obtención F_{ex}

$$F_{ex} = \begin{bmatrix} T_1 \bar{P}_1 - T_2 \bar{P}_2 \end{bmatrix}$$

$$F_{ex} = \begin{bmatrix} -0.930 \\ +4.660 \\ +0.149 \end{bmatrix}$$

d).- Obtengamos $[d']$ ($d' = (K')^{-1} F_{ex}$)

$$d' = \begin{bmatrix} -0.430 \\ +0.903 \\ -0.067 \end{bmatrix} \times 10^{-3}$$

Observarse que los valores de $[d']$ no son iguales a los obtenidos en la hoja (4) porque falta sumar el desplazamiento de ① cuando se dilata libremente, que es igual a

$$\begin{bmatrix} -1.500 \\ 0 \\ 0 \end{bmatrix} \times 10^{-3} \text{ que cuando se anterior}$$

nos da:

$$\begin{bmatrix} -1.930 \\ +0.903 \\ -0.067 \end{bmatrix} \text{ que es el mismo valor que el obtenido en la hoja (4)}$$

e).- Obtengamos $[e]$ ($e = d'$)

$$e = \begin{bmatrix} +0.903 \\ +0.430 \\ -0.067 \\ +0.430 \\ -0.903 \\ -0.067 \\ -0.334 \\ -0.942 \\ -0.067 \end{bmatrix}$$

f).- Obtengamos $k e$:

$$k e = \begin{bmatrix} +3.61 \\ +0.68 \\ -0.22 \\ +1.72 \\ -0.03 \\ +0.13 \\ -1.34 \\ -0.11 \\ +0.25 \end{bmatrix}$$

g).- Obtengamos $p_D (= k_D e + \bar{p})$

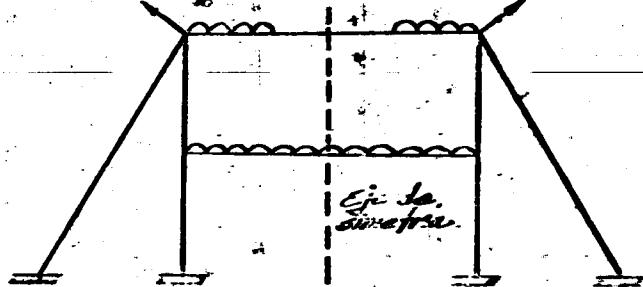
$p_D =$	-2.30
	+0.29
	-0.73
	+1.72
	-0.03
	+0.13
	-3.09
	-0.26
	+0.61

Iguals resultados a los obtenidos en la hoja (77)

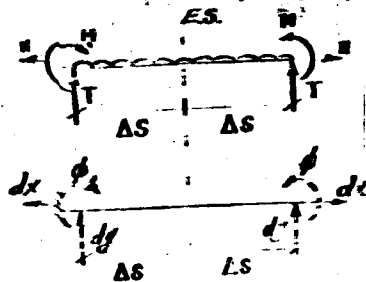
VI.- Simplificación cuando una estructura es simétrica en geometría. (Estructuras planas)

1).- Carga simétrica

a).- No hay nudos en el eje de simetría



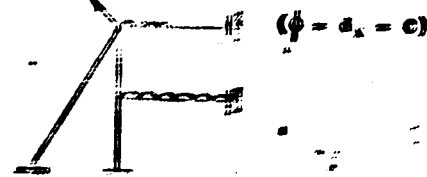
Por simetría: (reflexión)



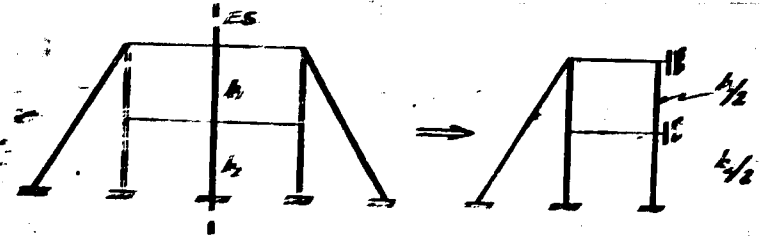
Si $\Delta s \rightarrow 0$
 Por equilibrio
 $T = 0$

Si $\Delta s \rightarrow 0$
 Por continuidad
 $d_x = 0$
 $d_y = 0$

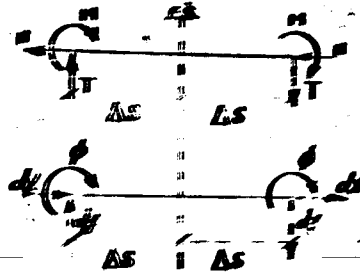
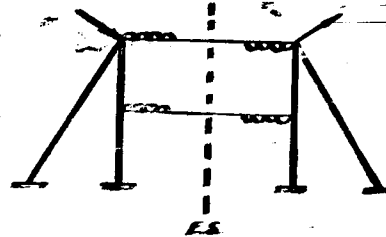
Por lo tanto, la estructura es equivalente a:



b).- Hay nudos (barras) en el eje de simetría



2).- Carga antisimétrica

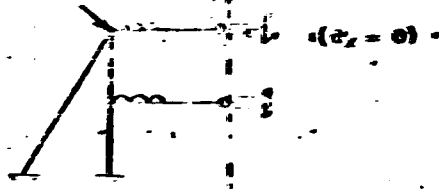


Por antisimetría (antireflexión)

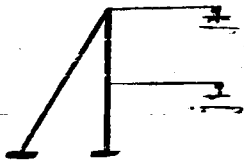
Si $\Delta s \rightarrow 0$
 Por equilibrio:
 $N = 0$
 $T = 0$

Si $\Delta s \rightarrow 0$
 Por continuidad
 $d_y = 0$

Por lo tanto la estructura es equivalente a:

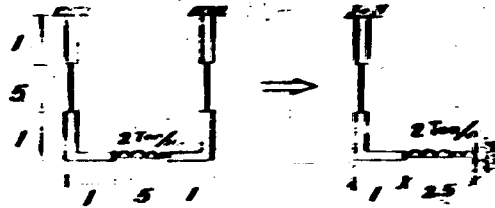


o bien:

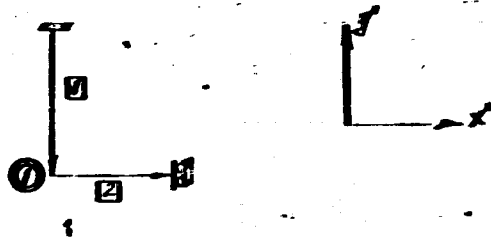


Si hay barras en el eje se toma la mitad de su rigidez, caso es el caso anterior.

Ejemplo:



Orientamos las barras:



FACULTAD DE INGENIERIA

a) Rigideces de las barras (L)

$$K_{12} = \begin{bmatrix} 0.400 & 0 & 0 \\ 0 & 0.151 & -0.668 \\ 0 & -0.668 & 2.730 \end{bmatrix} \times 10^5$$

$$K_{23} = \begin{bmatrix} 0.800 & 0 & 0 \\ 0 & 0 & 0 \\ 0 & 0 & 0.800 \end{bmatrix} \times 10^5 \quad (\text{Ver tabla bajo 4) del resumen (5)}$$

$$K_{34} = K_{23} K_{23}^T = \begin{bmatrix} 0.800 & 0 & 0 \\ 0 & 0 & 0 \\ 0 & 0 & 0.800 \end{bmatrix} \times 10^5$$

b) Matriz global K' (con la regla de la suma)

$$K_{12} = \begin{bmatrix} 0.151 & 0 & -0.668 \\ 0 & 0.400 & 0 \\ -0.668 & 0 & 2.730 \end{bmatrix} \times 10^5$$

$$K_{23} = K_{12}$$

$$K' = \begin{bmatrix} 0.991 & 0 & -0.668 \\ 0 & 0.400 & 0 \\ -0.668 & 0 & 3.530 \end{bmatrix} \times 10^5$$

c) Las fuerzas externas y las de fijación son los valores que los del nodo C en el problema original (Ver tabla al principio de este resumen)

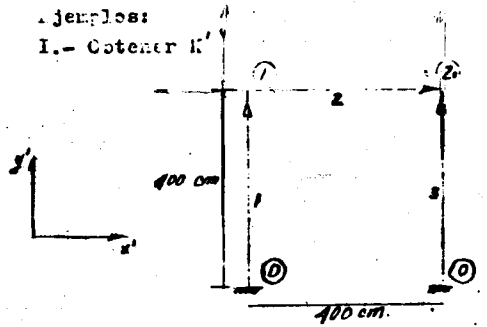
$$F_{ext} = \begin{bmatrix} 0 \\ -5 \\ -9.167 \end{bmatrix}$$

((Re))

d).- Resolviendo el sistema $Kd' = F$ se obtienen:

$$d' = \begin{bmatrix} -2.01 \\ -12.50 \\ -2.98 \end{bmatrix} \times 10^5$$

Ejemplos:
I.- Costener K'



$E = 2.1 \times 10^6 \text{ kg/cm}^2$
 $I = 2 \times 10^4 \text{ cm}^4$
 $A = 100 \text{ cm}^2$
 $\nu = 0.4$
 $k_{\text{rot}} = 1.2$

$\rho = \sqrt{20000/100} = 14.1 \text{ cm}$

$c = 6(1+\nu) \left(\frac{\rho}{L}\right)^2 k_{\text{rot}} = 6 \times 1.4 \times \left(\frac{14.1}{400}\right)^2 \times 1.2 = 0.012$

$\frac{EA}{L} = \frac{2.1 \times 10^6 \times 100}{400} = 5.25 \times 10^5 \text{ kg/cm}$

$\frac{12EI}{L^3(1+4c)} = \frac{12 \times 2.1 \times 10^6 \times 2 \times 10^4}{400^3 \times (1.05)} = 0.075 \times 10^5 \text{ kg/cm}$

$\frac{6EI}{L^3(1+4c)} = \frac{6 \times 2.1 \times 10^6 \times 2 \times 10^4}{400^3 \times (1.05)} = 15.00 \times 10^5 \text{ kg}$

$\frac{4EI(1+c)}{L(1+4c)} = \frac{4 \times 2.1 \times 10^6 \times 2 \times 10^4 \times (1.01)}{400 \times (1.05)} = 4040 \times 10^5 \text{ kg-cm}$

$\frac{2EI(1-2c)}{L(1+4c)} = \frac{2 \times 2.1 \times 10^6 \times 2 \times 10^4 \times (0.98)}{400 \times (1.05)} = 1960 \times 10^5 \text{ kg-cm}$

Regla de la suma

Barra 1 (3 - 1) y Barra 2 (3 - 2)

$\theta = -90^\circ ; T = \begin{bmatrix} 0 & -1 & 0 \\ 1 & 0 & 0 \\ 0 & 0 & 1 \end{bmatrix}$

$k = \begin{bmatrix} 5.25 & 0 & 0 & 0 & 0 & 0 \\ 0 & 0.075 & 15 & 0 & 0 & 0 \\ 0 & 15 & 4040 & 0 & 0 & 0 \\ -5.25 & 0 & 0 & 5.25 & 0 & 0 \\ 0 & -0.075 & -15 & 0 & 0.075 & -15 \\ 0 & 15 & 1960 & 0 & -15 & 4040 \end{bmatrix} \times 10^5$
 Simetrica
 $k'_1 = T k_1 T^T \text{ etc.}$

$k = \begin{bmatrix} 0 & 0 & -15 & -0.075 & 0 & -15 \\ 0 & 5.25 & 0 & 0 & -5.25 & 0 \\ -15 & 0 & 4040 & 15 & 0 & 1960 \\ -0.075 & 0 & 15 & 0.075 & 0 & 15 \\ 0 & -5.25 & 0 & 0 & 5.25 & 0 \\ -15 & 0 & 1960 & 15 & 0 & 4040 \end{bmatrix} \times 10^5$

Barra 2 (1 - 2):

$\theta = 0^\circ ; T = I$

$k = k' = \begin{bmatrix} 5.25 & 0 & 0 & -5.25 & 0 & 0 \\ 0 & 0.075 & 15 & 0 & -0.075 & 15 \\ 0 & 15 & 4040 & 0 & -15 & 1960 \\ -5.25 & 0 & 0 & 5.25 & 0 & 0 \\ 0 & -0.075 & -15 & 0 & 0.075 & -15 \\ 0 & 15 & 1960 & 0 & -15 & 4040 \end{bmatrix} \times 10^5$

$$H \quad f' \quad H_{B,1} = \begin{bmatrix} \left(\frac{L}{EA} + \frac{L^3}{2EI} \right) & \frac{L^2}{2EI} \left(1 + \frac{1}{\sqrt{2}} \right) & \frac{L^2}{\sqrt{2}EI} \\ \frac{L^3}{2EI} \left(1 + \frac{1}{\sqrt{2}} \right) & \frac{L^3}{EI} \left(\frac{5}{6} + \frac{1}{\sqrt{2}} \right) & \frac{L^2}{2EI} (1 + \sqrt{2}) \\ \frac{L^2}{\sqrt{2}EI} & \frac{L^2}{2EI} (1 + \sqrt{2}) & \frac{L}{EI} \end{bmatrix}$$

Barra [1]: $\theta = -90^\circ$

$$T = \begin{bmatrix} 0 & -1 & 0 \\ 1 & 0 & 0 \\ 0 & 0 & 1 \end{bmatrix}$$

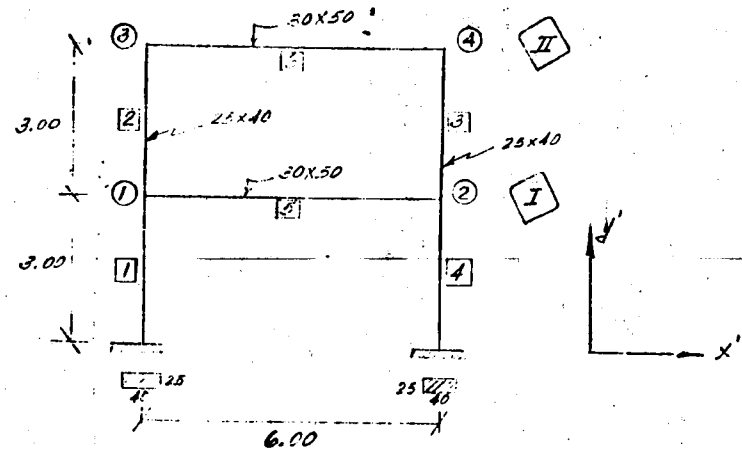
$$f'_1 = \begin{bmatrix} \frac{L^3}{3EI} & 0 & -\frac{L^2}{2EI} \\ 0 & \frac{L}{EA} & 0 \\ -\frac{L^2}{2EI} & 0 & \frac{L}{EI} \end{bmatrix}; \quad H_{B,1} = \begin{bmatrix} 1 & 0 & 0 \\ 0 & 1 & 0 \\ \frac{L}{\sqrt{2}} & L \left(1 + \frac{1}{\sqrt{2}} \right) & 1 \end{bmatrix}$$

$$H_{B,1}^T f'_1 H_{B,1} = \begin{bmatrix} \frac{L^3}{EI} \left(\frac{5}{6} - \frac{1}{\sqrt{2}} \right) & \frac{L^3}{2\sqrt{2}EI} & \frac{L^2}{EI} \left(\frac{1}{\sqrt{2}} - \frac{1}{2} \right) \\ \frac{L^3}{2\sqrt{2}EI} & \left[\frac{L}{EA} + \frac{L^3}{EI} \left(\frac{3}{2} + \sqrt{2} \right) \right] & \frac{L^2}{EI} \left(1 + \frac{1}{\sqrt{2}} \right) \\ \frac{L^2}{EI} \left(\frac{1}{\sqrt{2}} - \frac{1}{2} \right) & \frac{L^2}{EI} \left(1 + \frac{1}{\sqrt{2}} \right) & \frac{L}{EI} \end{bmatrix}$$

$$f_{B,B} = \begin{bmatrix} \left[\frac{L}{2EA} + \frac{L^3}{EI} \left(\frac{2}{3} - \frac{1}{\sqrt{2}} \right) \right] & \left[\frac{L}{2EA} + \frac{L^3}{EI} \left(\frac{2}{3} + \frac{1}{\sqrt{2}} \right) \right] & \frac{L^2}{2EI} \left(\frac{5}{\sqrt{2}} - 1 \right) \\ \left[\frac{L}{2EA} + \frac{L^3}{EI} \left(\frac{2}{3} + \frac{1}{\sqrt{2}} \right) \right] & \left[\frac{3L}{2EA} + \frac{L^3}{EI} \left(\frac{5}{2} + \frac{3}{\sqrt{2}} \right) \right] & \frac{L^2}{2EI} \left(\frac{5}{\sqrt{2}} + 3 \right) \\ \frac{L^2}{2EI} \left(\frac{5}{\sqrt{2}} - 1 \right) & \frac{L^2}{2EI} \left(\frac{5}{\sqrt{2}} + 3 \right) & \frac{3L}{EI} \end{bmatrix}$$

Ejemplos de análisis dinámico de estructuras

Ejemplo 1: Obtener los periodos y modos de vibrar (vibración libre)



Datos: $W_1 = W_2 = 30 \text{ ton.}$

$E = 147000 \text{ kg/cm}^2$ ($f_c = 210 \text{ kg/cm}^2$)

$\gamma = 0.25$

Hagamos las siguientes alternativas.

1) Análisis dinámico completo.

a) Obtención de $[K]$ (12×12), usando la regla de la suma:

FACULTAD DE INGENIERIA

Tubos:
[5] y [6]

$$I = \frac{30 \times 50^3}{12} = 3.125 \times 10^5 \text{ cm}^4; A = 30 \times 50 = 1500 \text{ cm}^2$$

$$I/A = 208 \text{ cm}^2; c = \frac{6 \times 1.25 \times 20.8}{600^2} \times 1.2 = 0.0052$$

$$\frac{12EI}{L^3(1+4c)} = \frac{12 \times 1.47 \times 10^6 \times 3.125 \times 10^5}{6.00^3 \times 1.0208} = 249.0 \text{ ton/m}$$

$$\frac{6EI}{L^2(1+4c)} = \frac{6 \times 1.47 \times 10^6 \times 3.125 \times 10^5}{6.00^2 \times 1.0208} = 750.0 \text{ ton}$$

$$\frac{4EI(1+c)}{L(1+4c)} = \frac{4 \times 1.47 \times 10^6 \times 3.125 \times 10^5 \times 1.0052}{6.00 \times 1.0208} = 2980.0 \text{ ton/m}$$

$$\frac{EA}{L} = \frac{1.47 \times 10^6 \times 1500 \times 10^{-4}}{6} = 36750.0 \text{ ton/m.}$$

$$\frac{2EI(1-2c)}{L(1+4c)} = 1470$$

$$k'_{BB'} = k'_{B'B'} = \begin{bmatrix} 36750.0 & 0 & 0 \\ 0 & 249 & -750 \\ 0 & -750 & +2980 \end{bmatrix}$$

Columnas

[1], [2], [3], [4]

$$I = \frac{25 \times 40^3}{12} = 1.33 \times 10^5 \text{ cm}^4; A = 1000 \text{ cm}^2$$

$$I/A = 133.3; c = \frac{6 \times 1.25 \times 133.3}{300^2} \times 1.2 = 0.0133$$

$$\frac{12EI}{L^3(1+4c)} = \frac{12 \times 1.47 \times 1.33 \times 10^5}{3.00^3 \times 1.0532} = 824$$

$$\frac{6EI}{L^2(1+4c)} = 1236$$

$$\frac{4EI(1+c)}{L(1+4c)} = \frac{4 \times 1.47 \times 1.33 \times 10^5 \times 1.0133}{3 \times 1.0532} = 2520$$

$$\frac{EA}{L} = 49000.0$$

$$\frac{2EI(1-2c)}{L(1+4c)} = 1210.0$$

$$k'_{BB'} = k'_{B'B'} = \begin{bmatrix} 824 & 0 & 1236 \\ 0 & 49000 & 0 \\ 1236 & 0 & 2520 \end{bmatrix}$$

Aplicando la regla de la suma:

$$K = \begin{bmatrix} 36750 & 0 & 0 & -249 & 150 & 0 & -224 & 0 & -1236 & 0 & 0 \\ 0 & 92249 & 150 & 0 & -249 & 150 & 0 & -49000 & 0 & 0 & 0 \\ 150 & 8020 & 0 & -150 & 1470 & 1236 & 0 & 0 & 1210 & 0 & 0 \\ -249 & 0 & 0 & 92249 & 0 & 0 & 0 & 0 & -224 & 0 & -1236 \\ 0 & -249 & -150 & 0 & 92249 & -150 & 0 & 0 & -49000 & 0 & 0 \\ 0 & 150 & 1470 & 0 & -150 & 8020 & 0 & 0 & 1236 & 0 & 1210 \\ -224 & 0 & 1236 & 0 & 0 & 0 & 36750 & 0 & 1236 & -249 & 0 \\ 0 & -49000 & 0 & 0 & 0 & 0 & 0 & 92249 & 150 & 0 & -249 & 150 \\ -1236 & 0 & 1210 & 0 & 0 & 0 & 1236 & 150 & 5500 & 0 & -150 & 1470 \\ 0 & 0 & -150 & 0 & 0 & 0 & -249 & -150 & 0 & 92249 & -150 & 0 \\ -1236 & 0 & 1210 & 0 & 150 & 1470 & 1236 & -150 & 5500 & 0 & 0 & 0 \end{bmatrix}$$

b) Obtención de \tilde{K} (permutando k)
tal que:

$$\begin{bmatrix} F_x' \\ F_y' \\ \mu \end{bmatrix} = \begin{bmatrix} \tilde{K}_{11} & \tilde{K}_{12} \\ \tilde{K}_{21} & \tilde{K}_{22} \end{bmatrix} \begin{bmatrix} d_x' \\ d_y' \\ \phi \end{bmatrix}$$

8)

dx'				dy'				ψ			
3300	-2170	214	0	0	0	1236	0	0	0	1236	0
-2170	2170	0	214	0	0	0	-1236	0	0	0	-1236
-224	0	3104	-2150	1236	0	1236	0	0	1236	0	1236
0	224	-3104	2150	0	1236	0	1236	0	1236	0	1236
0				0				0			
92247	-244	-1100	0	150	150	0	0	150	150	0	0
-244	92247	0	-1100	-150	-150	0	0	-150	-150	0	0
-4900	0	49249	-249	0	0	150	150	0	0	150	150
0	-4900	-249	49249	0	0	-150	-150	0	0	-150	-150
0	0	1236	0	150	-150	0	0	1210	1170	1210	0
0	0	0	1236	150	-150	0	0	1170	8100	0	1210
-1236	0	1236	0	0	0	150	-150	1210	0	5500	1170
0	-1236	0	1236	0	0	150	-150	0	1210	1170	5500

(9)

(100)

c) Obtengamos: $\tilde{K} = \tilde{K}_{11} - \tilde{K}_{12} \tilde{K}_{22}^{-1} \tilde{K}_{21}$

dx'				dy'			
38085	-36661	-563	-65.8	-17.3	17.3	136.0	-136.0
-36661	38085	-65.8	-563	-17.3	17.3	136.0	-136.0
-563	-65.8	37158	-36666	-82.6	82.6	-118.7	118.7
-65.8	-563	-36666	37158	-82.6	82.6	-118.7	118.7
-17.3	-17.3	-82.6	-82.6	98128	-128	-48979	-21.0
17.3	17.3	82.6	82.6	-128	98128	-21.0	-48979
136.0	136.0	-118.7	-118.7	-48979	-21.0	49084	-83.9
-136.0	-136.0	118.7	118.7	-21.0	-48979	-83.9	49084

Nota: Observe que las líneas de \tilde{K}_{22}^{-1} son los giros producidos por pares unitarios, sin desplazamientos, por lo que se puede aplicar Cross ó Kani (modificados) para efectuar su inversión, ó simplemente aplicar el método de Gauss - Seidel.

d) Obtengamos los periodos y modos naturales, con la ecuación:

$$[\tilde{K}] [d'] = \omega^2 [L] [d']$$

donde: $d' = \begin{bmatrix} d_{x'} \\ d_{y'} \end{bmatrix}; L = \begin{bmatrix} m & 0 \\ 0 & m \end{bmatrix}$

$$m_i = 1/2 \frac{W_i}{g} = 1/2 \left(\frac{30}{9.8} \right) = 1.53 \frac{T-s^2}{m}$$

$[K]$	1.53				
		1.53			
			1.53		
				1.53	
					1.53

La ecuación característica será:

$$\begin{bmatrix} \tilde{K}_{11} & \tilde{K}_{12} \\ \tilde{K}_{21} & \tilde{K}_{22} \end{bmatrix} \begin{bmatrix} d_{x'} \\ d_{y'} \end{bmatrix} = \begin{bmatrix} \omega^2 m d_{x'} \\ \omega^2 m d_{y'} \\ 0 \end{bmatrix}$$

Por lo tanto se puede contrer (eliminando ϕ)

$$\underbrace{\begin{bmatrix} \tilde{K}_{11} & \tilde{K}_{12} \\ \tilde{K}_{21} & \tilde{K}_{22} \end{bmatrix}}_{\tilde{K}} \begin{bmatrix} d_{x'} \\ d_{y'} \end{bmatrix} = \begin{bmatrix} \omega^2 m d_{x'} \\ \omega^2 m d_{y'} \end{bmatrix}$$

ADIN 11:48 034 11/24/70

PROGRAMA PARA LA OBTENCION DE PERIODOS Y MODOS NATURALES DE VIBRACION. PROGRAMADO POR J. DAMY, R., MEXICO NOVIEMBRE DE 1970

MATRIX K

.32085000E+05	-.36661000E+05	-.56300000E+03	-.65800000E+02
-.17300000E+02	.17300000E+02	.13600000E+03	-.13600000E+03
.32085000E+05	-.65800000E+02	-.56300000E+03	-.17300000E+02
.17300000E+02	.13600000E+03	-.13600000E+03	.37158000E+05
-.36661000E+05	-.82600000E+02	.82600000E+02	-.11870000E+03
.11870000E+03	.37158000E+05	-.82600000E+02	.82600000E+02
-.11870000E+03	.11870000E+03	.98128000E+05	-.12800000E+03
-.48979000E+05	-.21000000E+02	.98128000E+05	-.21000000E+02
-.48979000E+05	.49084000E+05	-.83900000E+02	.49084000E+05

ASAS

.15300000E+01	.15300000E+01	.15300000E+01	.15300000E+01
.15300000E+01	.15300000E+01	.15300000E+01	.15300000E+01

MOD0 1
 OMEGA = 10.66051200 PERIODO = .58938871
 .25623737E+00 .25623737E+00 .51099425E+00 .51099425E+00
 .29466487E-02 -.29466486E-02 .39979469E-02 .39979469E-02

MOD0 2
 OMEGA = 33.67011100 PERIODO = .18661017
 .51096589E+00 .51096589E+00 -.25612073E+00 -.25612073E+00
 -.50193496E-02 .50193496E-02 -.93926081E-02 .93926080E-02

MOD0 3
 OMEGA = 110.60265000 PERIODO = .05680863
 .59273579E-09 .59273579E-09 -.83033499E-09 .83033499E-09
 .30054070E+00 .30054064E+00 .48628462E+00 .48628453E+00

MOD0 4
 OMEGA = 111.30092000 PERIODO = .05645223
 -.72833551E-02 -.72833551E-02 .91885201E-02 .91885201E-02
 -.30022755E+00 .30022759E+00 -.48633659E+00 .48633667E+00

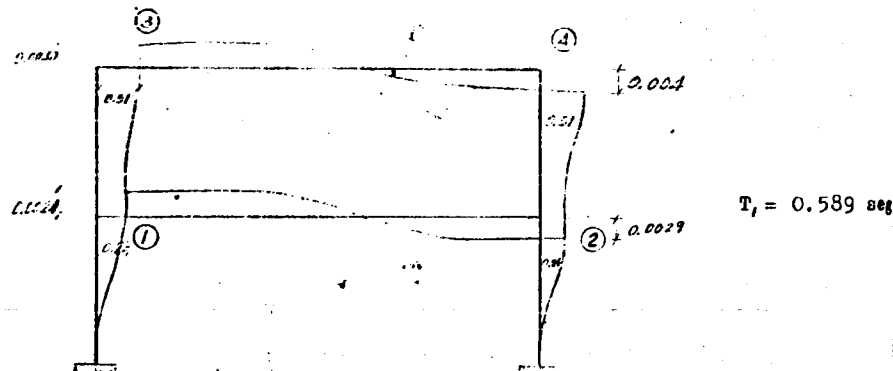
MOD0 5
 OMEGA = 219.33793000 PERIODO = .02864614
 .22869770E+00 .22869771E+00 .52392246E+00 .52392246E+00
 .21103940E-13 -.21103940E-13 .39491379E-13 .39491378E-13

MOD0 6
 OMEGA = 221.34915000 PERIODO = .02838586
 .52392246E+00 .52392246E+00 .22869770E+00 .22869771E+00
 -.11766490E-11 .11766492E-11 -.19060459E-11 .19060462E-11

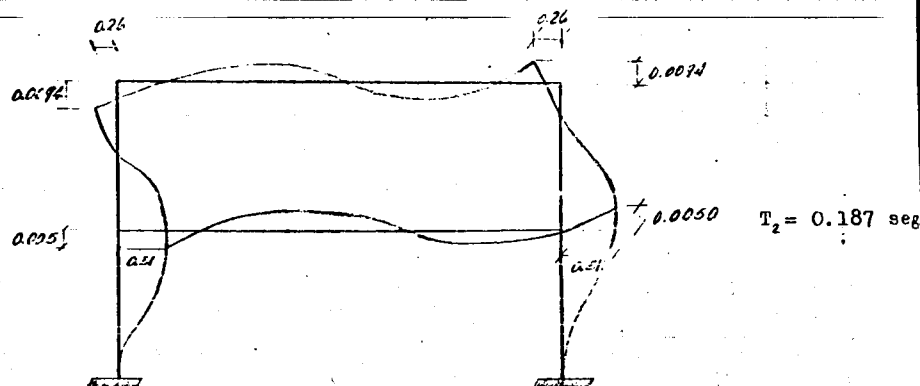
MOD0 7
 OMEGA = 289.56096000 PERIODO = .02169901
 .46862398E-09 .46862254E-09 .40160199E-10 .39996558E-10
 .48628428E+00 .48628487E+00 -.30054049E+00 -.30054026E+00

MOD0 8
 OMEGA = 289.78019000 PERIODO = .02168259
 -.77499100E-03 -.77499100E-03 .67064765E-04 .67064765E-04
 .48644342E+00 .48644283E+00 -.30028316E+00 .30028279E+00

1er modo



2º modo



(101)

Se obtuvo: (Utilizando el servicio de tiempo compartido de G E)

$\omega_1 = 10.66 \text{ 1/s}$	$T_1 = 0.589 \text{ seg.}$
$\omega_2 = 33.67$	$T_2 = 0.187$
$\omega_3 = 110.60$	$T_3 = 0.057$
$\omega_4 = 111.30$	$T_4 = 0.056$
$\omega_5 = 219.34$	$T_5 = 0.029$
$\omega_6 = 221.35$	$T_6 = 0.028$
$\omega_7 = 289.56$	$T_7 = 0.022$
$\omega_8 = 289.78$	$T_8 = 0.022$

2) Análisis dinámico, sin considerar acortamiento en traves
En este caso la matriz $[K]$ se modifica de acuerdo con lo visto en el
Resumen (8) obteniéndose la matriz $[K^{III}]$

$$[K^{III}] = \begin{array}{c} \begin{array}{cc|cc|cc} \Delta_1 & \Delta_2 & d_{y_1} & d_{y_2} & d_{y_3} & d_{y_4} \\ \hline 2848 & -1257.6 & -34.6 & 34.6 & 272 & -272 \\ -1257.6 & 984 & -34.6 & 34.6 & 272 & -272 \\ \hline & & 98128 & -128 & -48979 & -21 \\ \text{Simétrica} & & & 98128 & -21 & -48979 \\ \hline & & & \text{Simétrica} & 49084 & -83.8 \\ & & & & & 49084 \end{array} \\ \\ \end{array}$$

donde: $\Delta_1 = d_{x_1} = d_{x_2}$; $\Delta_2 = d_{x_3} = d_{x_4}$

La matriz de masas K será:

$$K = \begin{bmatrix} 3.06 & & & & & & & & \\ & 3.06 & & & & & & & \\ & & 1.53 & & & & & & \\ & & & 1.53 & & & & & \\ & & & & 1.53 & & & & \\ & & & & & 1.53 & & & \\ & & & & & & 1.53 & & \\ & & & & & & & 1.53 & \\ & & & & & & & & 1.53 \end{bmatrix}$$

Obteniéndose:

$\omega_1 = 10.66 \text{ 1/s}$	$T_1 = 0.589 \text{ seg.}$
$\omega_2 = 33.67$	$T_2 = 0.187$
$\omega_3 = 110.60$	$T_3 = 0.057$
$\omega_4 = 111.30$	$T_4 = 0.056$
$\omega_5 = 289.56$	$T_5 = 0.022$
$\omega_6 = 289.78$	$T_6 = 0.022$

Observe que los modos 1º, 2º, 3º y 4º son iguales al caso anterior
y que los modos 5º y 6º son iguales al 7º y 8º del caso anterior.

3) Análisis dinámico, sin considerar acortamiento en traves y co-
lumnas.

En este caso la matriz de rigidez $[K^{IV}]$ será:

$$[K^{IV}] = \begin{array}{c} \begin{array}{cc|c} \Delta_1 & \Delta_2 & \\ \hline 2848 & -1257.6 & \\ -1257.6 & 984 & \\ \hline \end{array} \\ \\ d_{y_1} = d_{y_2} = d_{y_3} = d_{y_4} = 0 \end{array}$$

$$\begin{array}{l} \Delta_1 = d_{x_1} = d_{x_2} \\ \Delta_2 = d_{x_3} = d_{x_4} \end{array}$$

```

MATHZ K
.28480000E+04 -1.2576000E+04 -.3460000E+02 .3460000E+02
.2720000E+03 -.2720000E+03 .9840000E+03 -.1652000E+03
.1652000E+03 -.2374000E+03 .2374000E+03 .9812800E+05
-.1280000E+03 -.1897900E+05 -.2100000E+02 .9812800E+05
-.2100000E+02 -.1897900E+05 .4902400E+05 -.8390000E+02
.4902400E+05

MASAS
.3060000E+01 .3060000E+01 .1530000E+01 .1530000E+01
.1530000E+01 .1530000E+01

MODO 1
OMEGA = 10.66050930 PERIODO = .58938884
.25623737E+00 .51099425E+00 .29466487E-02 -.29466486E-02
.39979469E-02 -.39979469E-02

MODO 2
OMEGA = 33.67011000 PERIODO = .18661018
.51096589E+00 -.25612072E+00 -.50193496E-02 .50193496E-02
-.93926081E-02 .93926080E-02

MODO 3
OMEGA = 110.60265000 PERIODO = .05680863
.60344717E-09 -.82412281E-09 .30054070E+00 .30054064E+00
.48628453E+00

MODO 4
OMEGA = 111.30092000 PERIODO = .05645283
-.72833531E-02 .91885200E-02 -.30022755E+00 .30022759E+00
-.48633659E+00 .48633667E+00

MODO 5
OMEGA = 289.56096000 PERIODO = .02169901
.46912016E-09 .40092534E-10 .48628428E+00 .48628487E+00
-.3054749E+00 -.30054086E+00

MODO 6
OMEGA = 289.78017000 PERIODO = .02168259
-.77499190E-03 -.67024765E-04 .48644342E+00 -.48644283E+00
-.30028316E+00 .30028279E+00

```

La matriz de masas $[m]$ será:

$$K = \begin{bmatrix} 3.06 & \\ & 3.06 \end{bmatrix}$$

Se obtiene: $\omega_1 = 10.71$ 1/s; $T = 0.587$ seg

$\omega_2 = 33.73$ 1/s; $T = 0.186$ seg

Matriz K

.28480000E+04 -.12576000E+04 .98400000E+03

Masas

.30600000E+01 .30600000E+01

Modo 1

Omega = 10.70541900 Período = .58691633

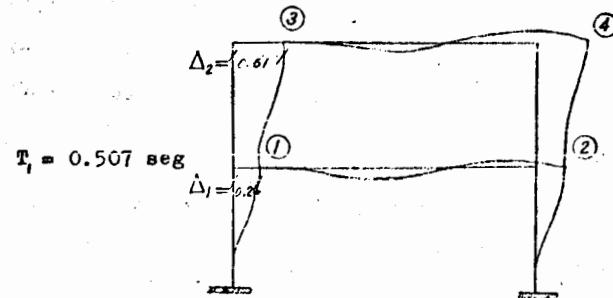
.25711735E+00 .51057620E+00

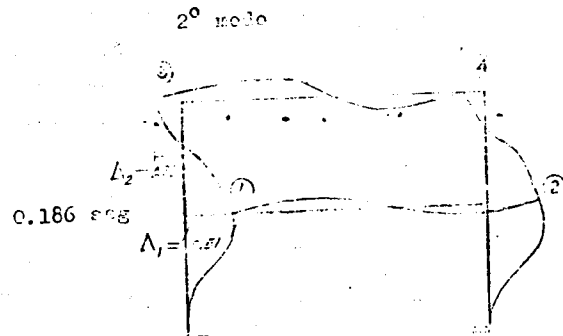
Modo 2

Omega = 33.72953600 Período = .18628140

.51057620E+00 -.25711735E+00

1er modo





Observese que son muy parecidos a los dos primeros modos de los casos anteriores.

Nota: En los tres casos anteriores, para obtener el valor de $[\phi]$, se usará la expresión:

$$[\phi] = \begin{bmatrix} -\tilde{K}_{12}^{-1} & \tilde{K}_{11} \end{bmatrix} \begin{bmatrix} d_{x'} \\ d_{y'} \end{bmatrix}$$

(Ver hojas 98, 99, 100 y 101)

donde \tilde{K}_{22}^{-1} :

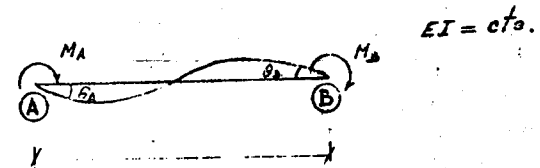
$$\tilde{K}_{22}^{-1} = \begin{bmatrix} 1.3470 & -0.2694 & -0.3362 & 0.1491 \\ & 1.3470 & 0.1491 & -0.3362 \\ \text{Simétrico} & & 2.0472 & -0.5800 \\ & & & 2.0472 \end{bmatrix}$$

Obtención directa de la matriz $[K^M]$

La matriz K^M se puede obtener directamente contrayendo una matriz k , que se obtiene:

$$K = a^T k a$$

donde k son las rigideces de las barras sin considerar acortamiento, referidos a los momentos extremos M_A , M_B .
La matriz k en función de M_A y M_B , para una barra recta de sección uniforme, es:



$$\begin{bmatrix} M_A \\ M_B \end{bmatrix} = \begin{bmatrix} \frac{4EI(1+c)}{L(1+4c)} & \frac{2EI(1-2c)}{L(1+4c)} \\ \frac{2EI(1-2c)}{L(1+4c)} & \frac{4EI(1+c)}{L(1+4c)} \end{bmatrix} \begin{bmatrix} \theta_A \\ \theta_B \end{bmatrix}$$

Para la deducción de esta matriz, véase los Resúmenes (3) y (4)
Para nuestro ejemplo:

Barras [1], [2], [3], [4];
Ver hojas (96, 97, 98 y 99)

$$k = \begin{bmatrix} 2520 & 1210 \\ 1210 & 2520 \end{bmatrix}$$

Barras [5], [6]

$$k = \begin{bmatrix} 2980 & 1470 \\ 1470 & 2980 \end{bmatrix}$$

Efectuando $k = \frac{3EI}{L}$, se obtiene:

$$[K] = \begin{bmatrix} 1648 & -824 & 0 & 1736 \\ -824 & 824 & -1236 & -1236 \\ 0 & -1236 & 9540 & 1210 \\ 1236 & -1236 & 1210 & 7070 \end{bmatrix}$$

Obtenemos $K_{12} K_{22}^{-1} K_{21}$:

$$K_{12} K_{22}^{-1} K_{21} = \begin{bmatrix} 223 & -194 \\ -194 & 330 \end{bmatrix}$$

$$[K] = \begin{bmatrix} 1425 & -630 \\ -630 & 494 \end{bmatrix}$$

* Barras 3 y 4 $\frac{3EI}{L(1+c)} = \frac{3 \times 1.47 \times 10^8 \times 3125 \times 10^{-6}}{3.60 \times 1.0208} = 4500$

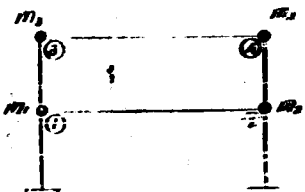
(Note: $c = 4 \times 0.0052 = 0.0208$)

Observese que: $[K] \approx 1/2 [K']$ y las masas son la mitad de las masas de la alternativa (3), por lo tanto los períodos y los modos son los mismos.

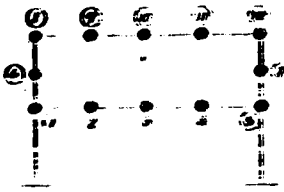
Conclusiones:

Para efectuar el análisis dinámico de una estructura ha sido necesario discretizar a las masas, considerándolas concentradas en los "nodos", porque las matrices de rigideces de las estructuras, están referidas a ellos. Si se desea una mejor aproximación al análisis dinámico de una estructura cualquiera, estará aumentar el número de "nodos" y por consiguiente el número de masas concentradas.

1ª aproximación



2ª aproximación



Este tratamiento es conveniente cuando se quiere considerar la inercia rotacional de las barras, que puede ser considerable en barras largas.

en nuestro ejemplo la obtención de K_{11} , K_{22} se reduce a resolver el sistema

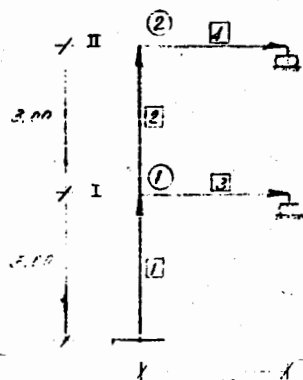
$$\begin{bmatrix} 8020 & 1470 & 1210 & 0 \\ 1470 & 8020 & 0 & 1210 \\ 1210 & 0 & 5500 & 1470 \\ 0 & 1210 & 1470 & 5500 \end{bmatrix} [X] = \begin{bmatrix} 0 & -1236 \\ 0 & -1236 \\ 1236 & -1236 \\ 1236 & -1236 \end{bmatrix}$$

este procedimiento simplifica bastante el problema de la construcción de K , cuando se trata de marcos con muchos nudos y pocos niveles.

Simplificación por la simetría de la estructura.

Con las alternativas (1) y (2) (exacta y sin acortamiento en traveses, respectivamente) no se puede llevar a cabo ninguna simplificación por la simetría de la estructura ya que solo los modos 1, 2, 4, 8 (en la alternativa (1)) son completamente antisimétricos, los modos 3, 5, 6, 7 son simétricos y antisimétricos en forma simultánea (Ver hoja 100 A).

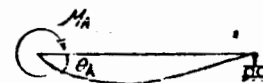
Con la alternativa (3) (sin acortamiento en traveses y columnas) sí se puede efectuar simplificaciones, ya que los modos corresponden siempre a condiciones antisimétricas. En nuestro ejemplo consideraremos la siguiente estructura:



$$W_2 = 15 \text{ Ton.}$$

$$W_1 = 15 \text{ Ton.}$$

La matriz k (en función de K_A y M_B) para las barras (3) y (4) son:



$$M_A = \left[\frac{3EI}{L(1+c)} \right] \theta_A$$

$$k_{3,4} = \frac{3EI}{L(1+c)} *$$

La matriz $[a^T]$ será:

$$\begin{bmatrix} F_I \\ F_{II} \\ M_I \\ M_{II} \end{bmatrix} = \begin{bmatrix} -0.33 & -0.33 & 0.33 & 0.33 & 0 & 0 \\ 0 & 0 & -0.33 & -0.33 & 0 & 0 \\ 0 & 1 & 1 & 0 & 1 & 0 \\ 0 & 0 & 0 & 1 & 0 & 1 \end{bmatrix} \begin{bmatrix} K_{A1} \\ M_{A1} \\ M_{B1} \\ K_{B1} \\ M_{A2} \\ M_{B2} \end{bmatrix}$$

$[a^T]$

La matriz $[k]$ será:

$$[k] = \begin{bmatrix} 2520 & 1210 & & & & \\ 1210 & 2520 & & & & \\ & & 2520 & 1210 & & \\ & & 1210 & 2520 & & \\ & & & & 4500 & \\ & & & & & 4500 \end{bmatrix}$$